

Состояние и перспективы применения спутниковых методов ДЗЗ при решении геологических задач

В.И.Горный

НИЦЭБ РАН

Санкт-Петербург

E-mail: img@at1895.spb.edu

Содержание

- Характеристика минерально-сырьевой базы России
- Специфика современного состояния ДЗЗ
- Методы ДЗЗ
- Методология
- Перспективы

Краткая характеристика современного состояния минерально-сырьевой базы России

- Дефицит запасов по ряду полезных ископаемых:
марганец, хром, уран;
- Отрицательный прирост запасов;
- Асимметрия размещения минеральных ресурсов по отношению к местам их переработки и потребления;
- Высокая геологическая изученность приповерхностной части недр.

Вывод:

Необходима разработка методов прогнозирования, поисков и разведки:

- рудных месторождений, залегающих на глубинах до 1-2 км;
- месторождений углеводородов в фундаменте и на шельфе.

Специфика современного состояния ДЗЗ

Переход от аэрокосмической фотографии
к измерительным, метрологически обеспеченным
цифровым съемочным системам

Преимущества:

- Высокие чувствительность и динамический диапазон регистратора
- Линейность передаточной характеристики
- Компьютерная совместимость

Специфика современного состояния ДЗЗ

Выделение слабых эндогенных сигналов на фоне интенсивных экзогенных помех

Космические фотоснимки:

Landsat TM:

NOAA (AVHRR):

Terra MODIS:

ASTER:

- не более 16 градаций (4 бит);
- 256 градаций (8 бит);
- 1024 градаций (10 бит);
- 4096 градаций (12 бит);
- 16384 градации (16 бит).



Специфика современного состояния ДЗЗ

Космическая
фотосъемка



Ландшафтный подход
к геологическому
дeшифрированию

Измерительные
методы ДЗЗ



Формализованные
методы извлечения
геологической
информации

Вывод:

Современные методы ДЗЗ - разновидность геофизических

Методы ДЗ3

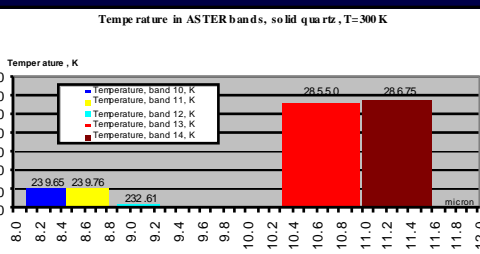
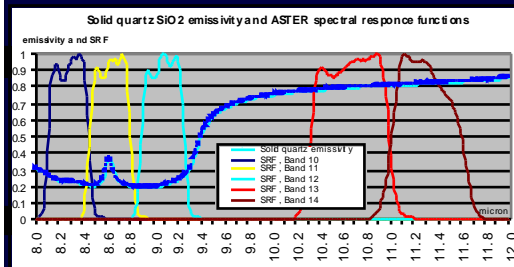
Спектральный метод

Предложен академиком К.Я.Кондратьевым

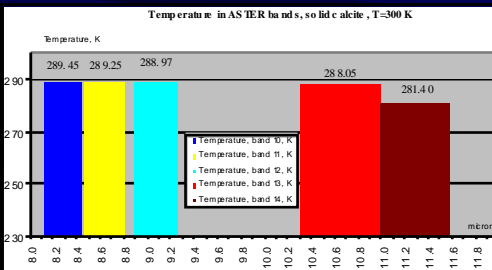
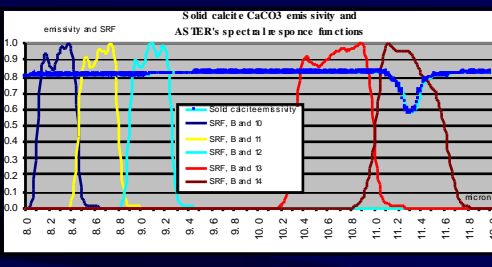
Методы ДЗ3

ИК-тепловые спектры минералов

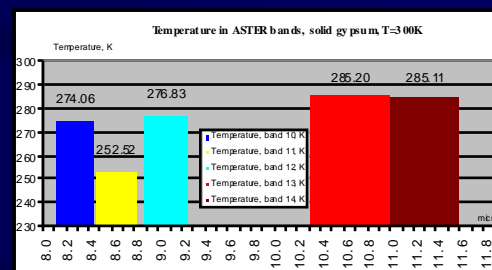
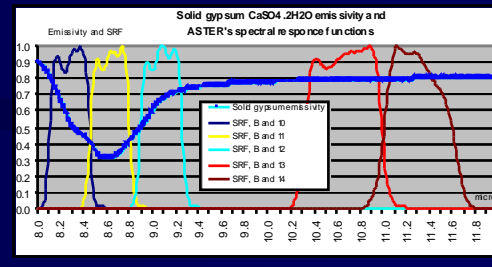
Кварц



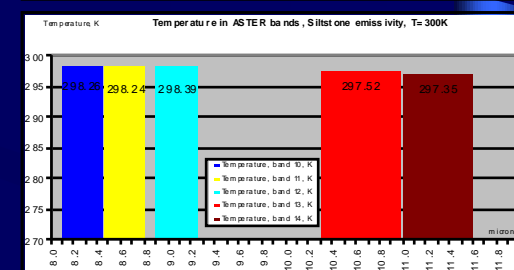
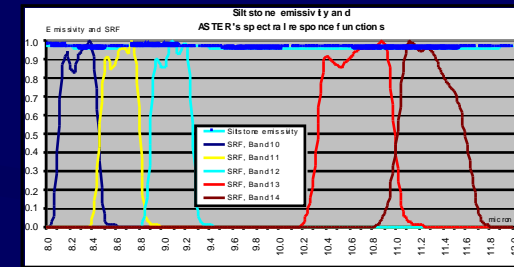
Карбонаты



Гипс



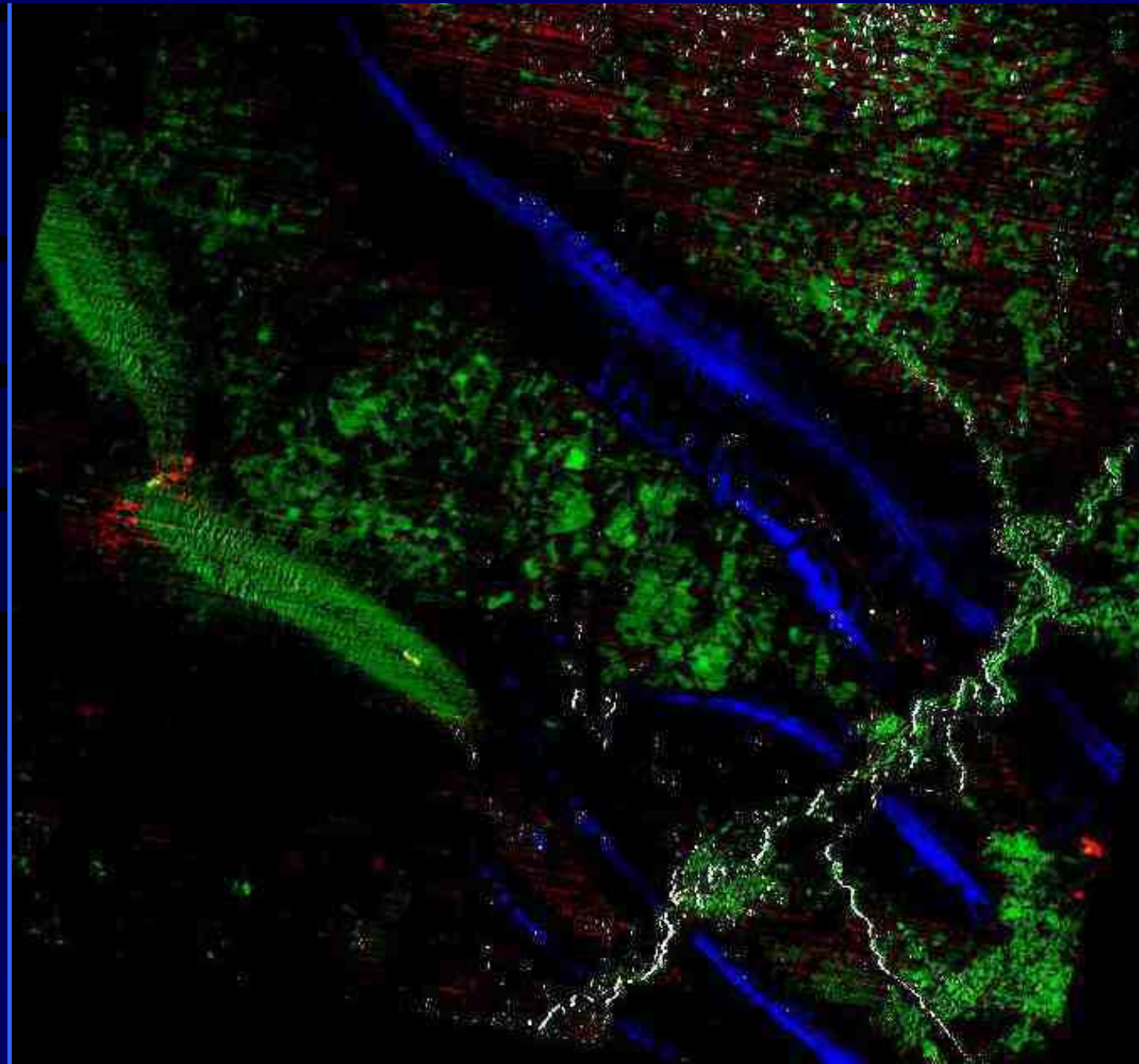
Глина



Некорректная обратная задача - определение коэффициента излучения

Методы ДЗЗ

Месторождение нефти Киркук (Ирак)



← RGB Цветовой
композит
Terra(ASTER)

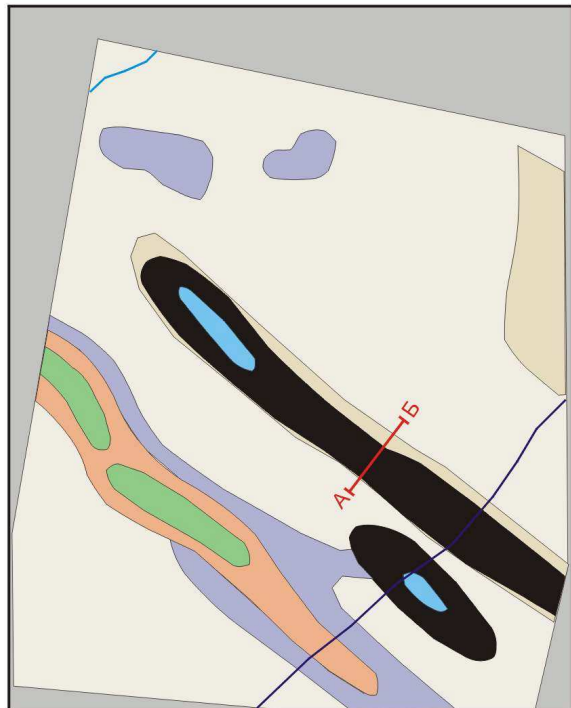
Индексы:

- -Сульфатный;
- - Карбонатный;
- - Силикатный;

Методы ДЗЗ

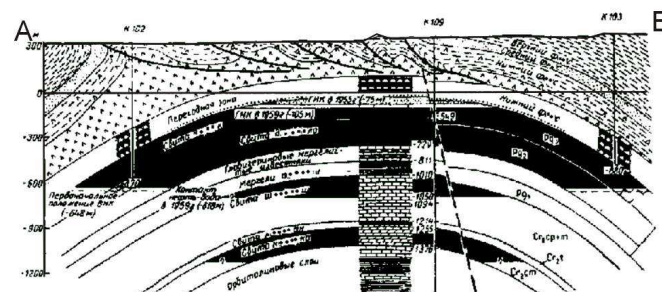
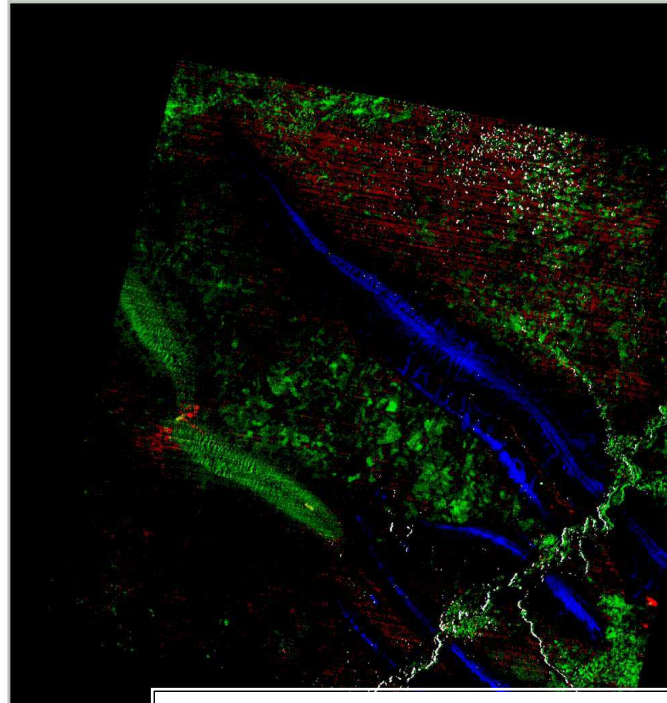
Космическая спектрометрия в ИК-тепловом диапазоне
(спутник Terra (ASTER))

Схематическая геологическая карта



1. Аллювий. 2. Свита Бахтиари. 3. Красноцветные песчаники, глины, алевролиты. 4. Ангидриты, известняки с прослойями алевролитов. 5. Известняки оолитовые, органогенные. 6. Нефть. 7. Газ.

Цветовой композит



Геологический разрез

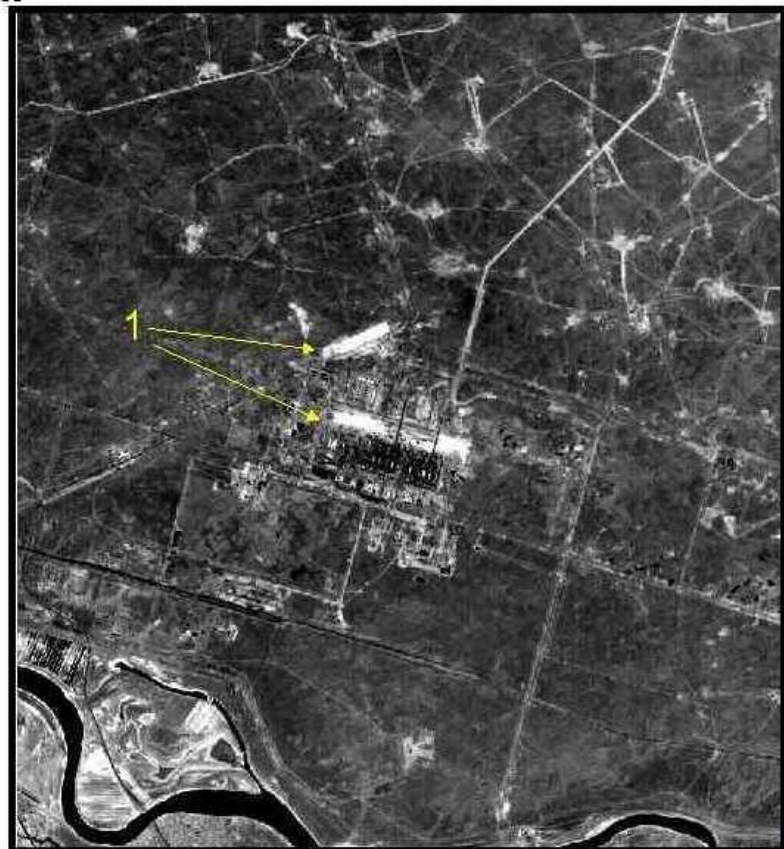
Индексы:

- -Сульфатный;
- - Карбонатный;
- - Силикатный;

Методы ДЗЗ

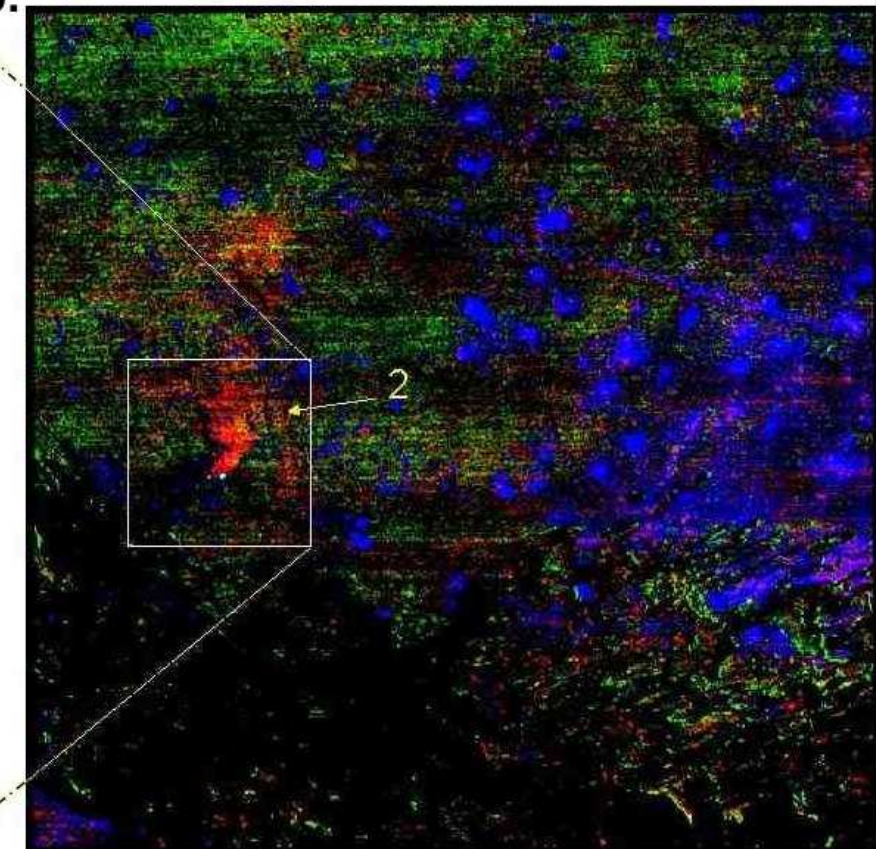
Загрязнение почвы сульфатами на Астраханском газовом промысле

Снимок видимого диапазона



R. Волга

RGB-цветовой композит



- █ - sulphate index.
- █ - carbonate index.
- █ - silicate index.
- █ - sulfur index.

1 – Бурты серы; 2 – Сульфатное загрязнение.

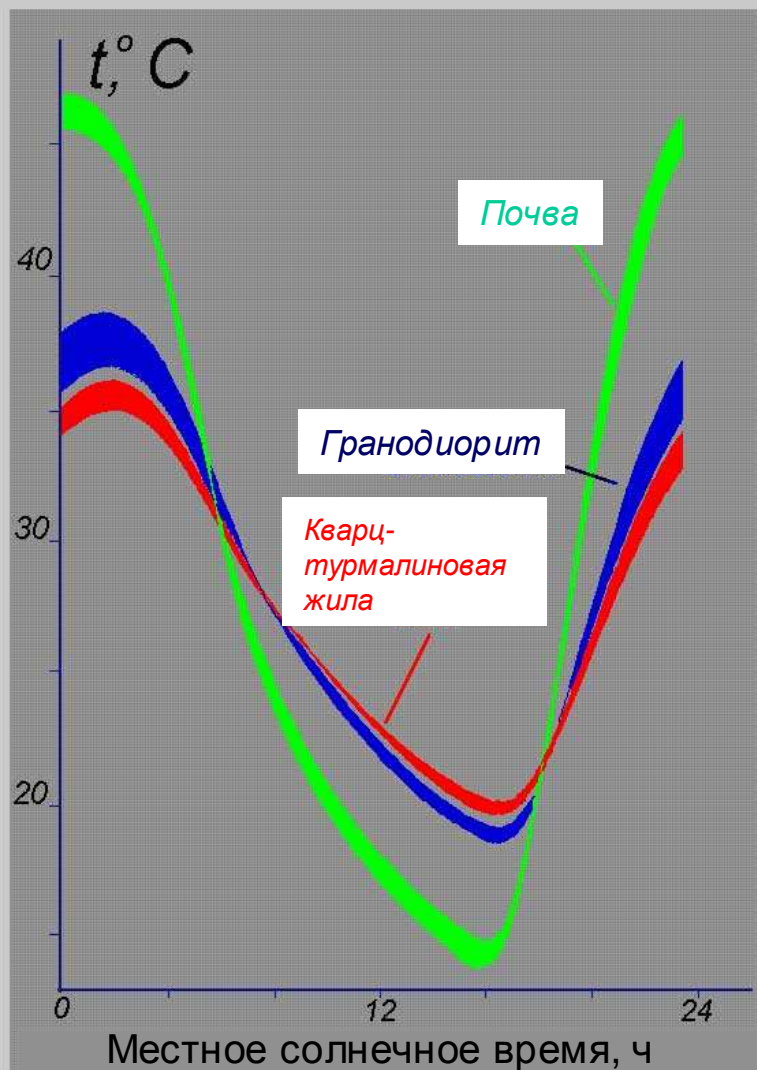
Методы ДЗ3

Дистанционный геотермический метод

Предложен К. Ватсоном (K. Watson)

Методы ДЗ3

Математическое моделирование
суточного хода температуры поверхности



Тепловой поток на поверхности

$$q = A_o + \sum_{i=1}^{\infty} [A_i \cos(i\omega_i \tau + \phi_i) + B_i \sin(i\omega_i \tau + \phi_i)]$$

Упрощенное выражение

$$q = q_o \sin(\omega \tau)$$

Где: q - тепловой поток на поверхности;
 q_o - амплитуда теплового потока;
 ω - угловая скорость;
 τ - время.

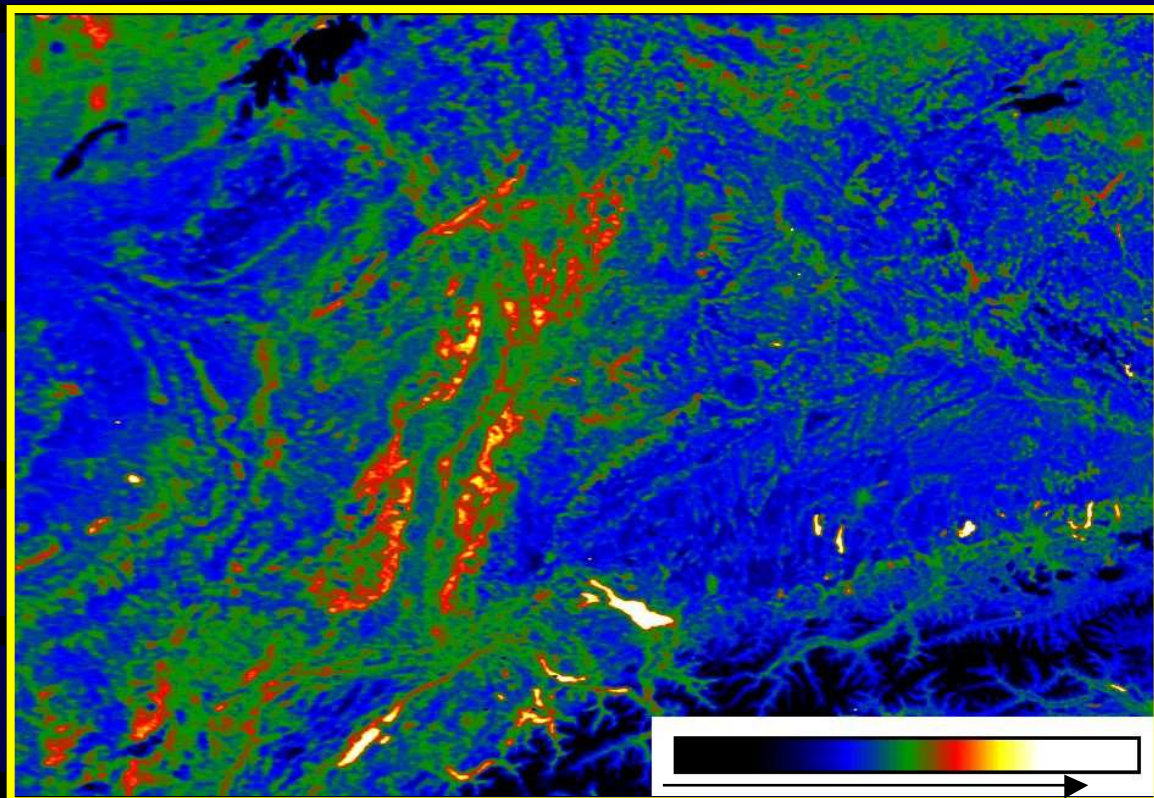
$$\vartheta(\tau.h) = [q_o/p(\omega)^{1/2}] \sin(\omega\tau - \pi/4),$$

Где: $p = (\lambda c \rho)^{-1/2}$ - тепловая
инерция;

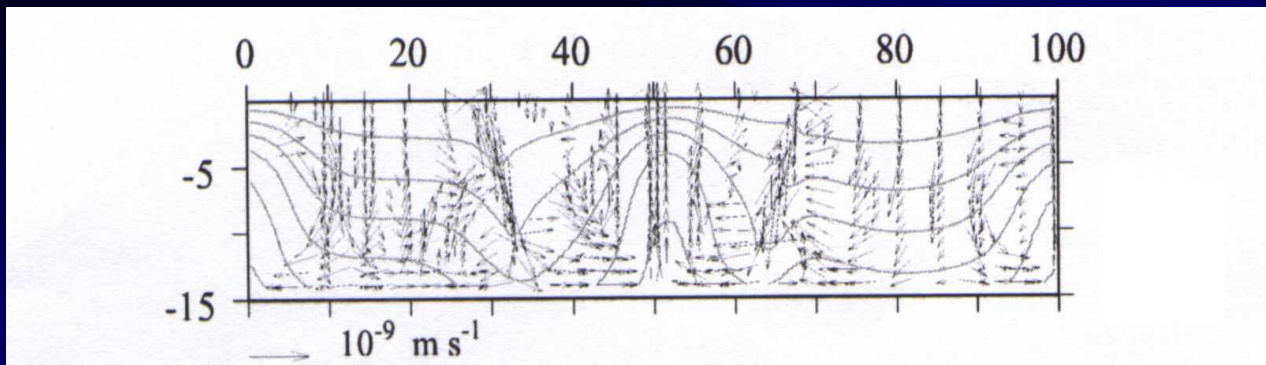
Методы ДЗ3

Рейнский грабен

Карта ночной температуры поверхности



Результаты математического моделирования распределения температуры пород при наличии конвекции (по C.Clauser)



Тектоническая схема с картой температур (измерения в скважинах (по C.Clauser)

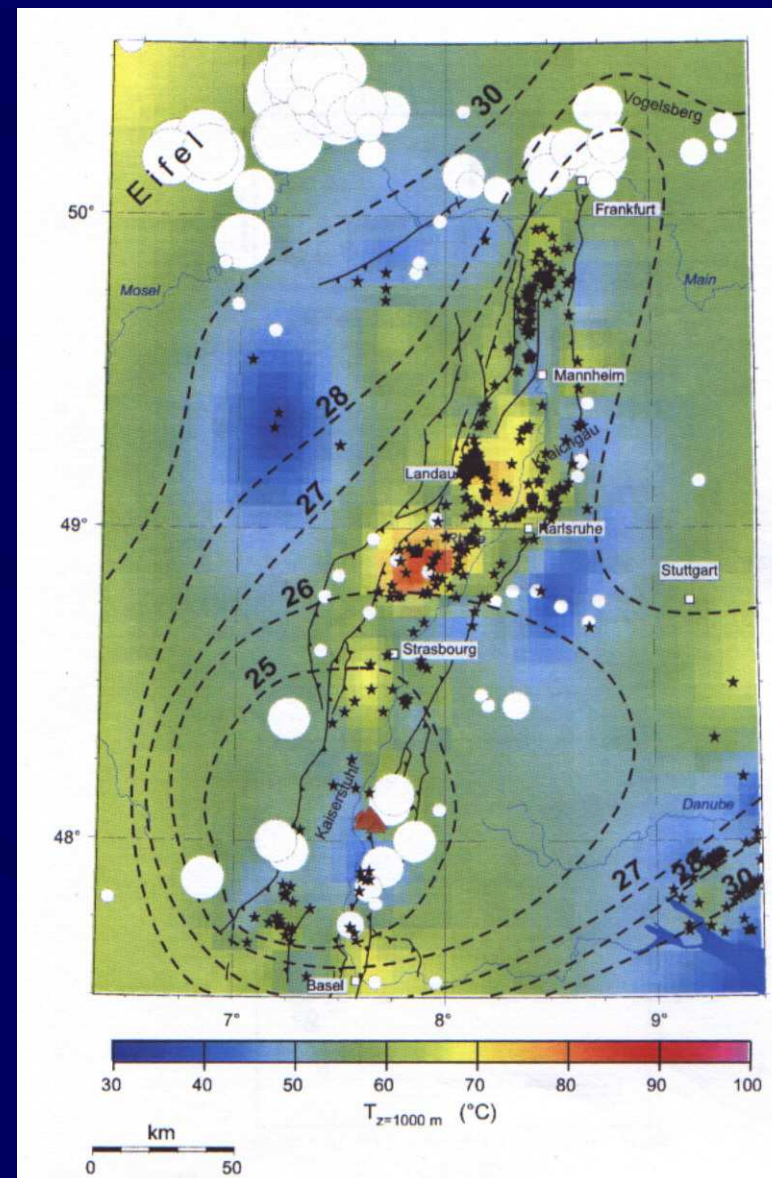
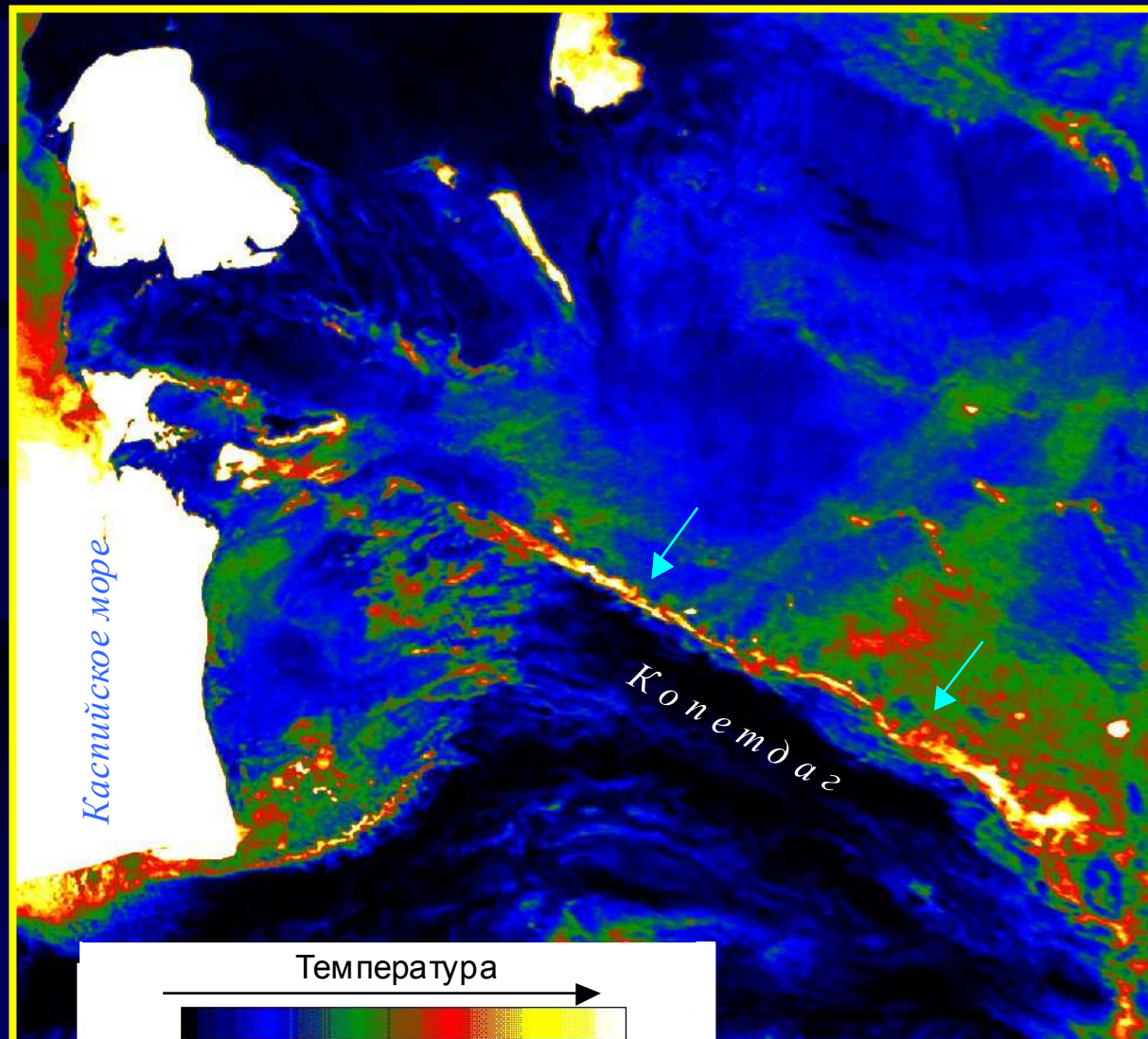


Figure 4

Методы ДЗЗ

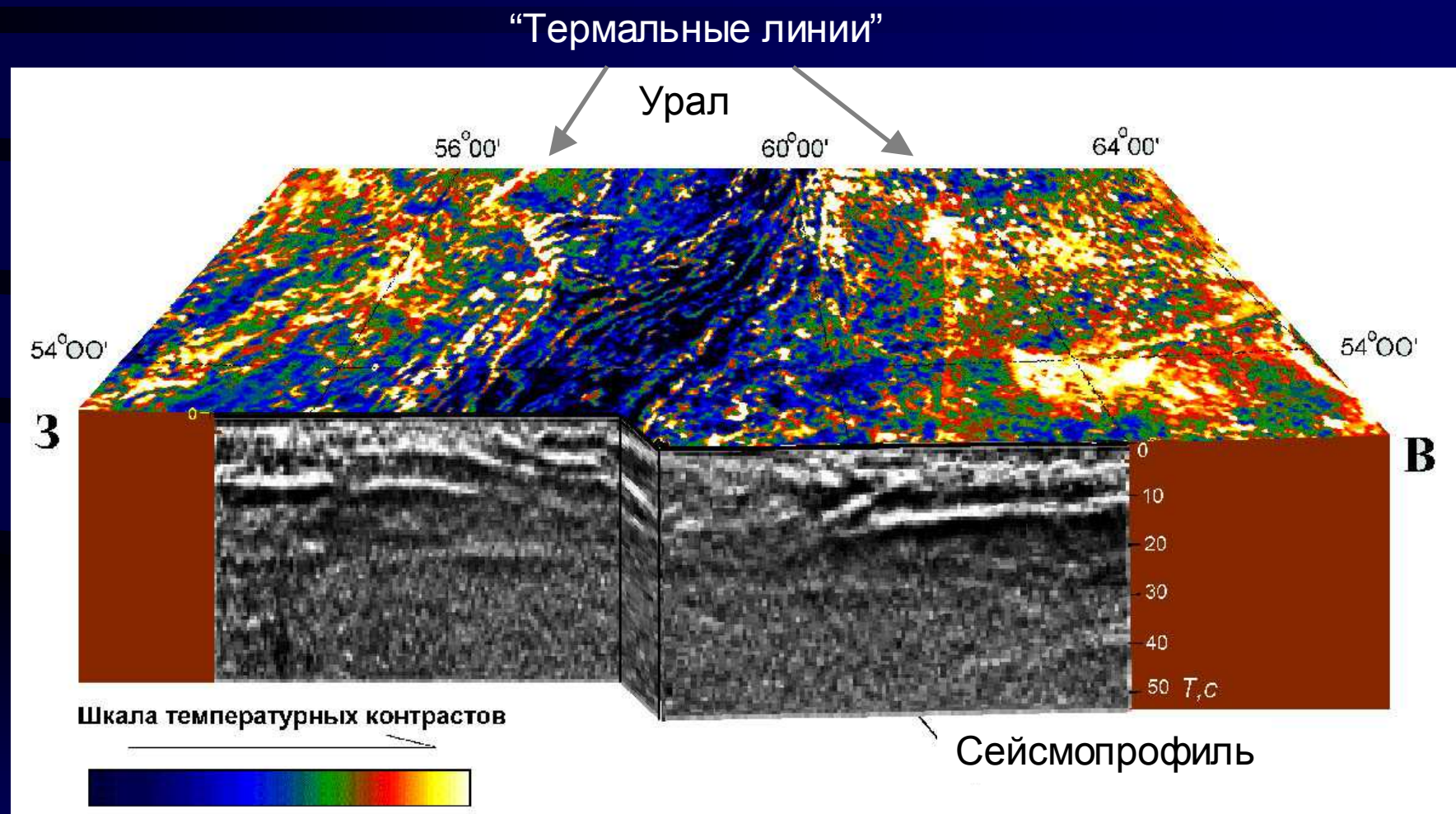
Термальная линия Копетдага

Карта ночных температурных контрастов



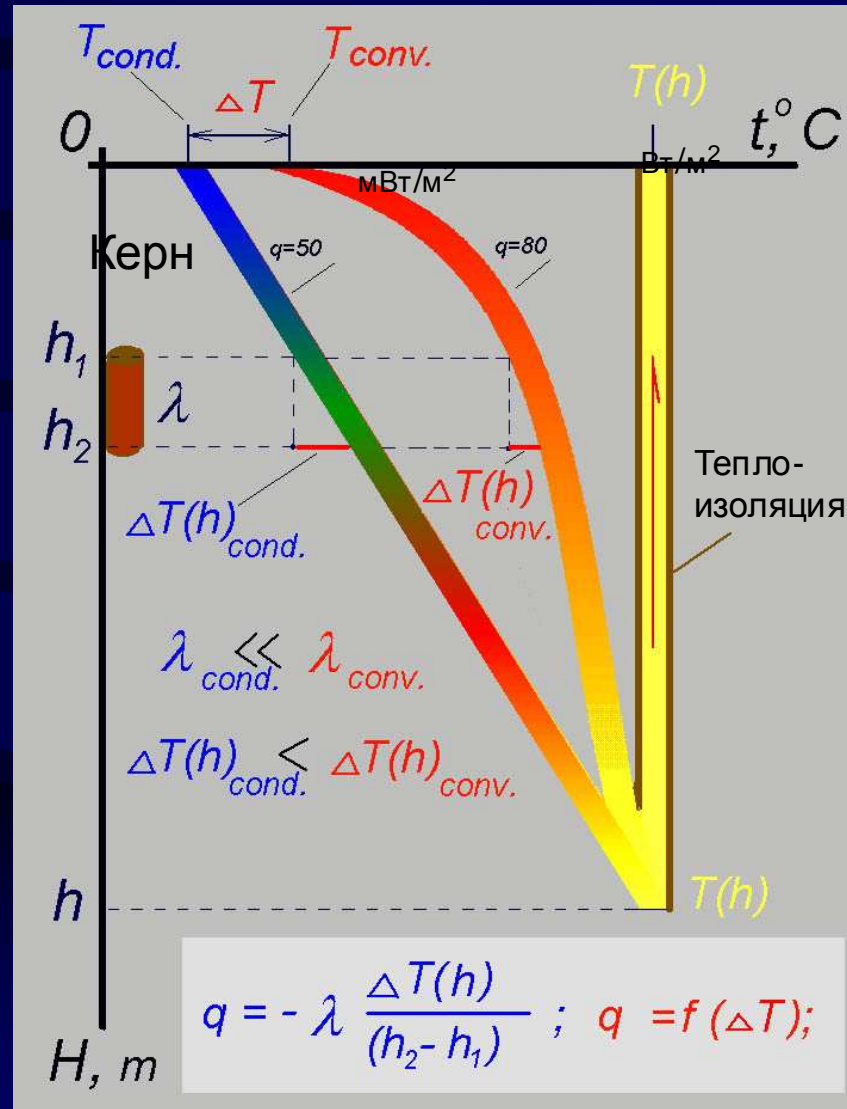
Методы ДЗЗ

Профиль УРАЛСЕЙС



Методы ДЗЗ

Определение ТП по результатам измерений в скважинах



Методы ДЗ3

Энергия эндогенных источников тепла (по Г.А.Череменскому)

Вид	Энергия, выделенная за 4.5 млрд. лет $\cdot 10^{31}$ Дж
Радиогенная	1.6 - 2.8
Гравитационная (образование Земли)	30
Потенциальная гравитационная	25
Упругая (сжатия)	2
Гравитационной дифференциации	1.5 - 2.0
Ротационная: <i>замедление скорости вращения</i> <i>колебание скорости вращения</i>	0.36 2

Всего: $\sim 60 \cdot 10^{31}$ Дж

Оценка среднего теплового потока
по энергии внутренних источников тепла: $\sim 8 \text{ Вт}/\text{м}^2$

???

Средний наблюденный
ТП Земли (Pollack et al):

$87 \pm 2.0 \text{ мВт}/\text{м}^2$

Методы ДЗ3

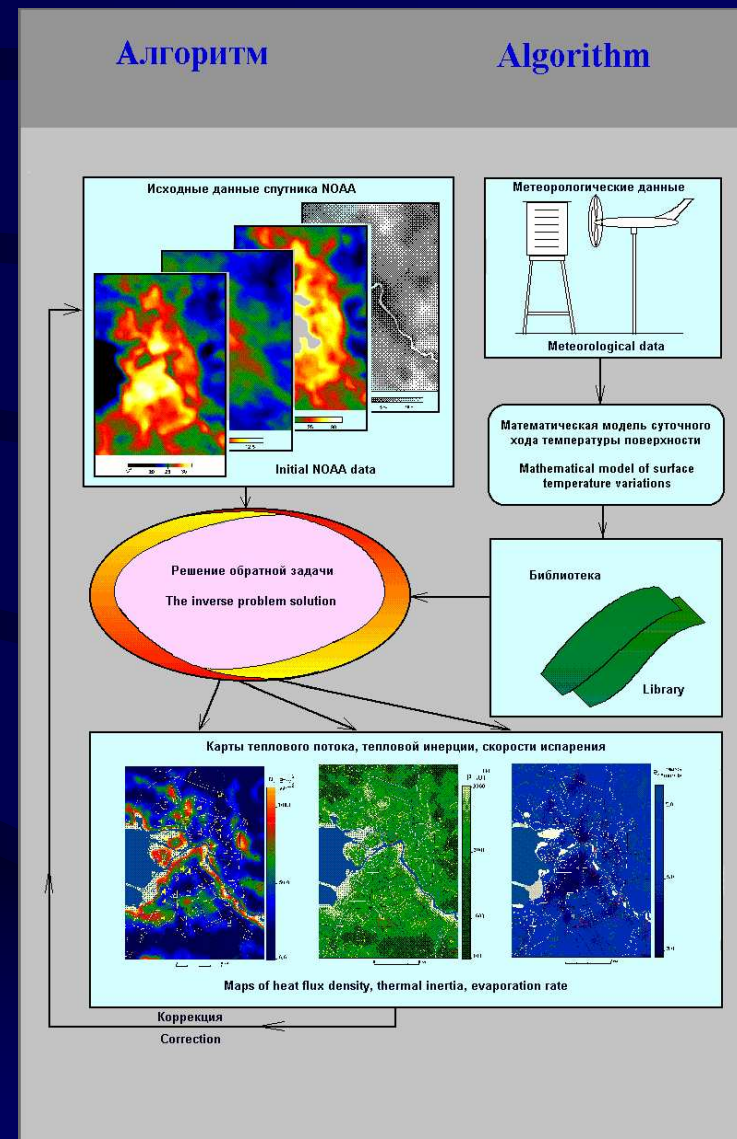
Дистанционное определение теплового потока, тепловой инерции и скорости испарения влаги с дневной поверхности

Исходные материалы:

- * многократная тепловая ИК аэро-космическая съемка;
- * срочные данные метеонаблюдений;

Измеряемые характеристики:

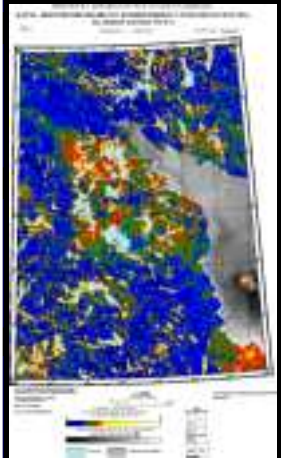
- * тепловой поток, W/m^2 ;
- * тепловая инерция, ETI ;
- * скорость испарения, $мм/сут.$



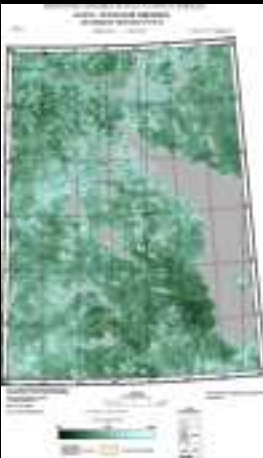
Стандартный набор карт Лист Q - (35)36

Масштаб: 1:1 000 000

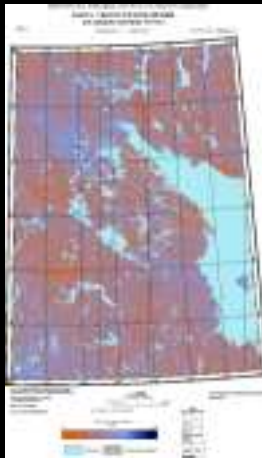
Конвективный
тепловой
поток



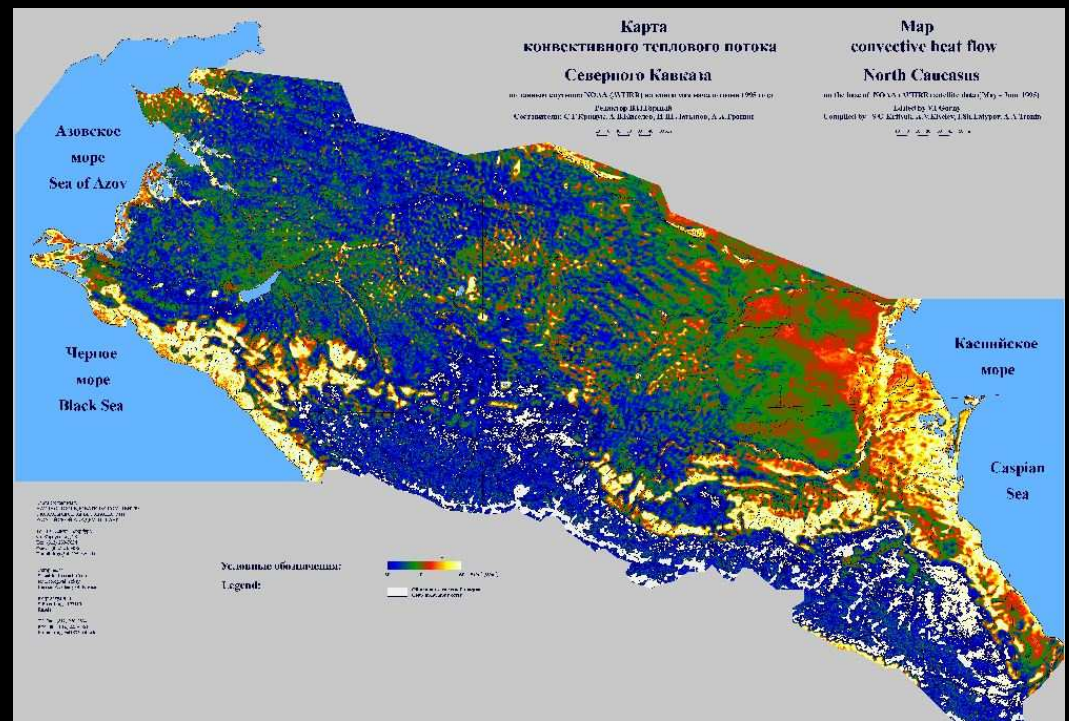
Тепловая
инерция



Скорость
испарения

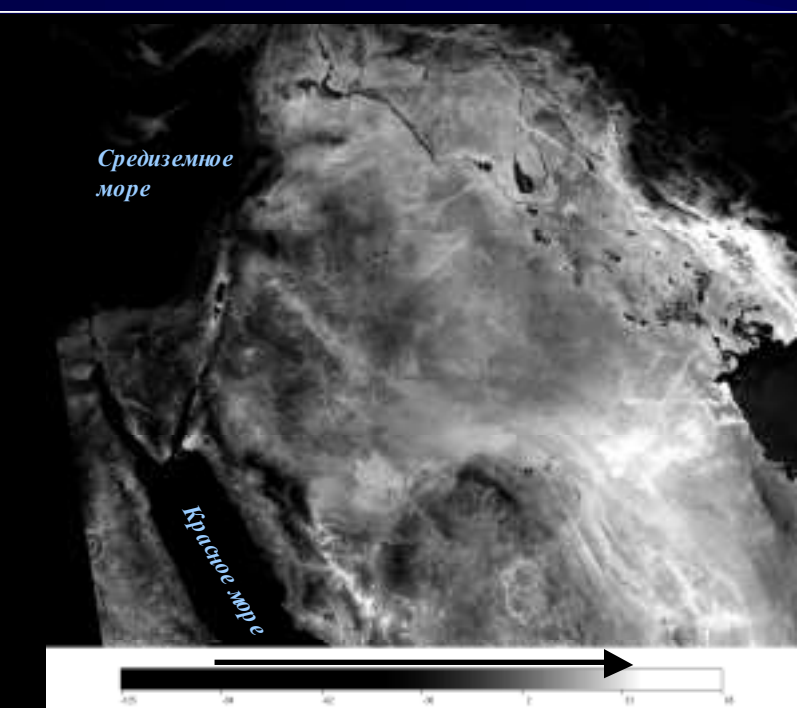


Карта КТП Северного Кавказа



Средиземное
море

Красное море



←
Карта КТП
северной части
Аравийской плиты

Методы ДЗЗ

Влияние эндогенного тепла на формирование экосистем



Методы ДЗ3

Б. Заяцкий остров - тундра

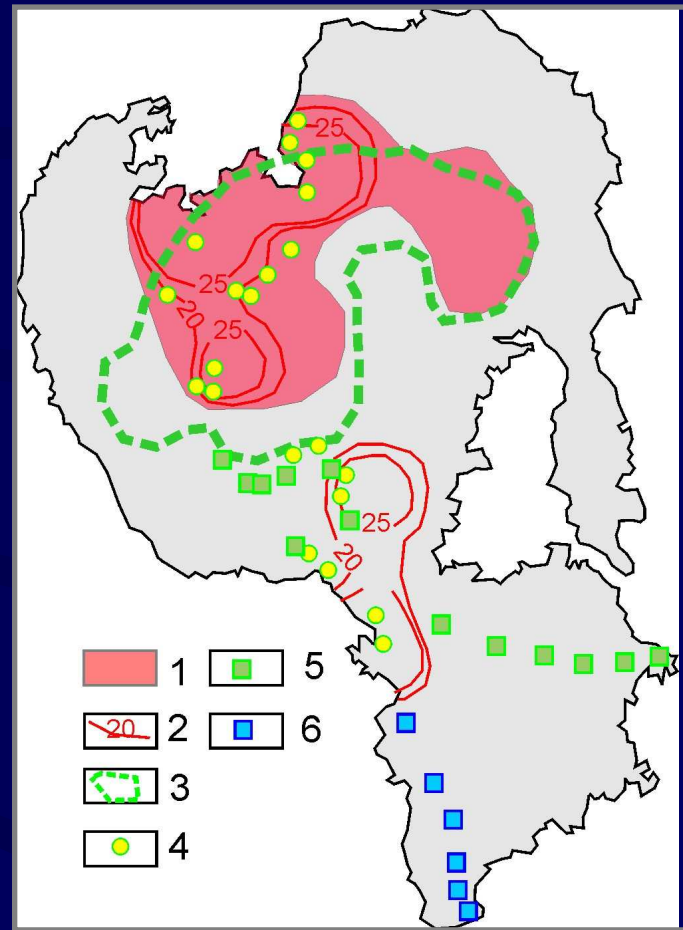
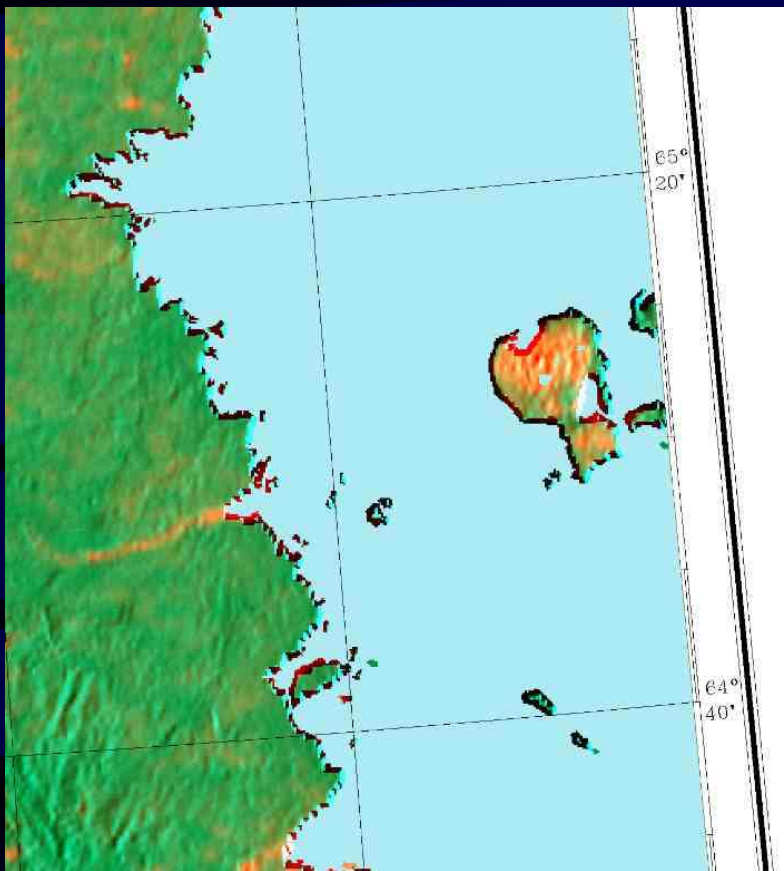


Б. Соловецкий остров - тайга



Сопоставление тепловых аномалий и участков распространения экстразональных лесов (По Ю.Г.Шварцману и В.И.Горному).

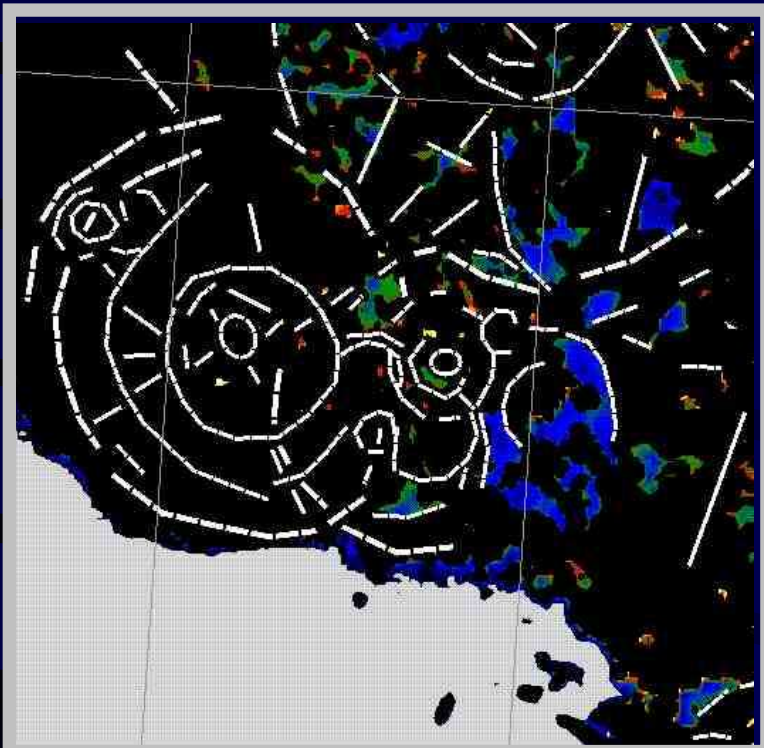
Карта конвективного теплового потока



1. Аномалия конвективного теплового потока по данным спутника NOAA (более 30 Вт/м²);
2. Изолинии относительных аномалий среднесуточной температуры почво в летний период (% от минимального значения); 3. Контур распространения экстразональных лесов (по комплексу наземных и космических данных); 4-6. Группы лесных биоценозов, выделенные на основе кластерного анализа геоботанических описаний, близкие : 6 – к среднетаежным; 7 – к северотаежным; 8 – к притундровым.

Результаты полевых измерения температуры поверхности озер

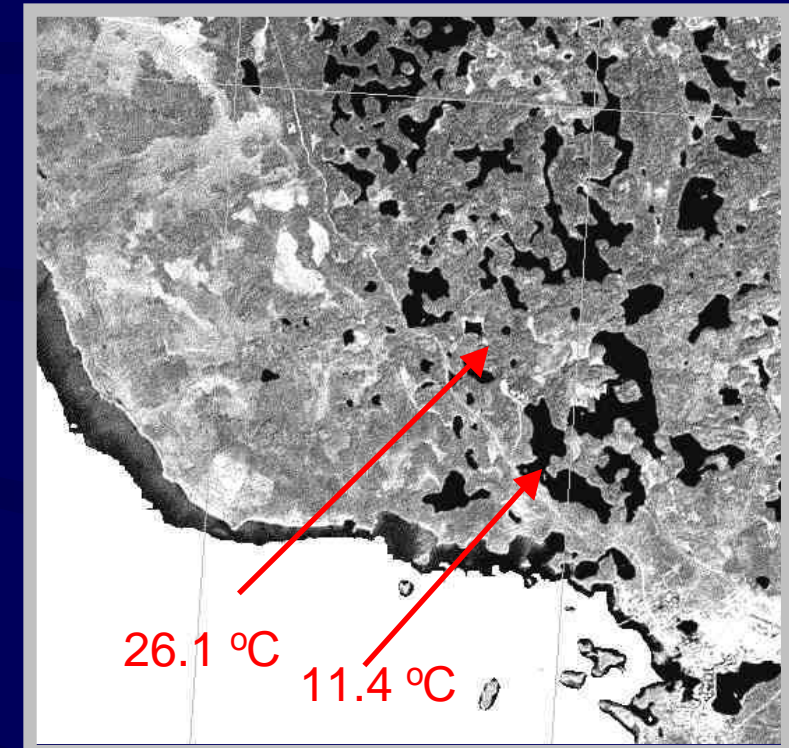
Фрагмент схемы геологического
декодирования



Теплое озеро 6-2



Температура поверхности воды в озерах
по результатам полевых измерений
в 12ч 00 мин 25.07.2003г.



Вдали от «теплых» озер



Методы ДЗ3

Тепловой баланс Земли

Оценка среднего теплового потока
по энергии внутренних источников тепла: $\sim 8 \text{ Вт}/\text{м}^2$

5-10% площади Земли - тепловой поток $\sim n * 10 \text{ Вт}/\text{м}^2$

Новая оценка среднего теплового потока: $\sim \text{первые } \text{Вт}/\text{м}^2$

Методы ДЗ3

Фотограмметрические методы

Методы ДЗ3

Космическая дифференциальная радиолокационная интерферометрия



Некорректная обратная задача - восстановление фазы

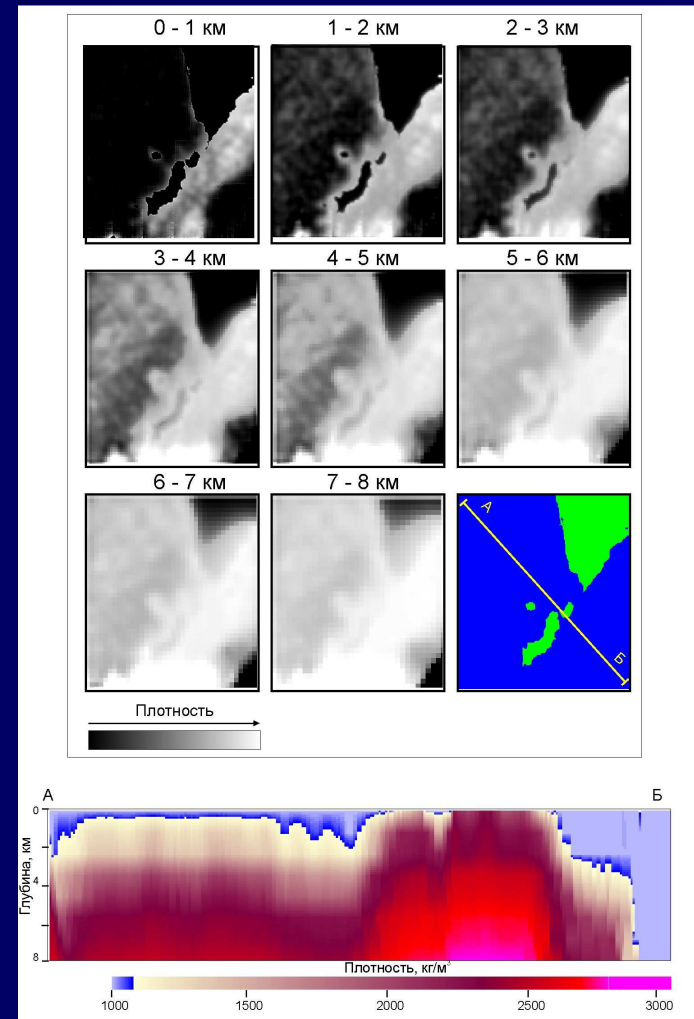
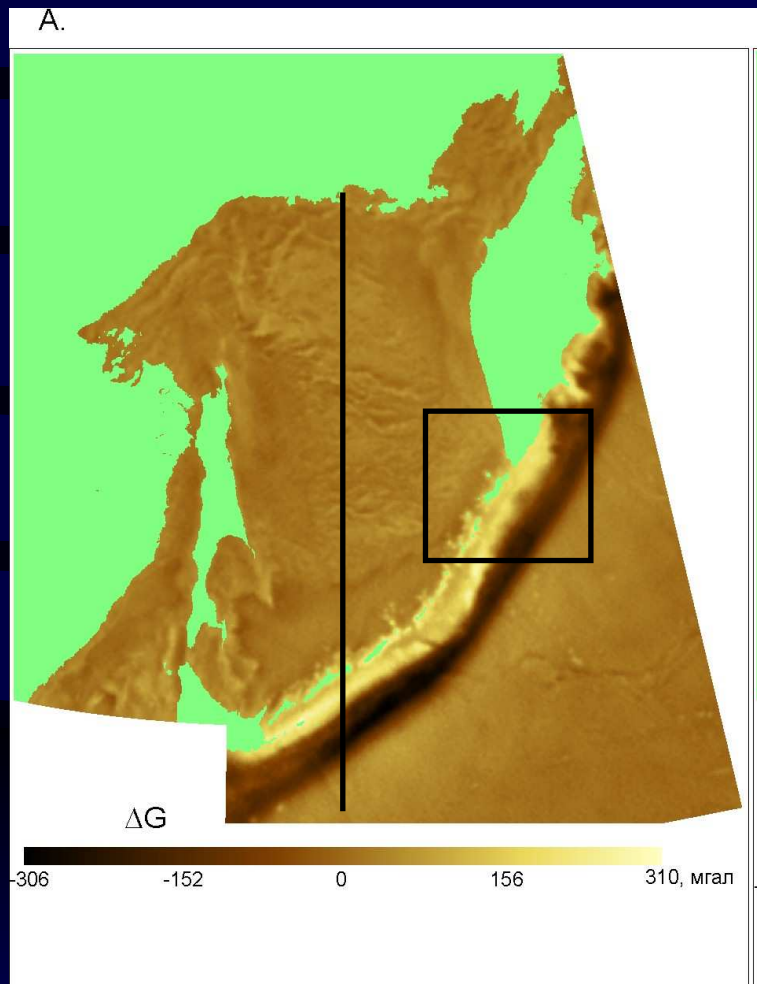
Методы ДЗЗ

Спутниковая альtimетрия

Методы ДЗЗ

Результат автоматического
Решения обратной задачи гравиметрии

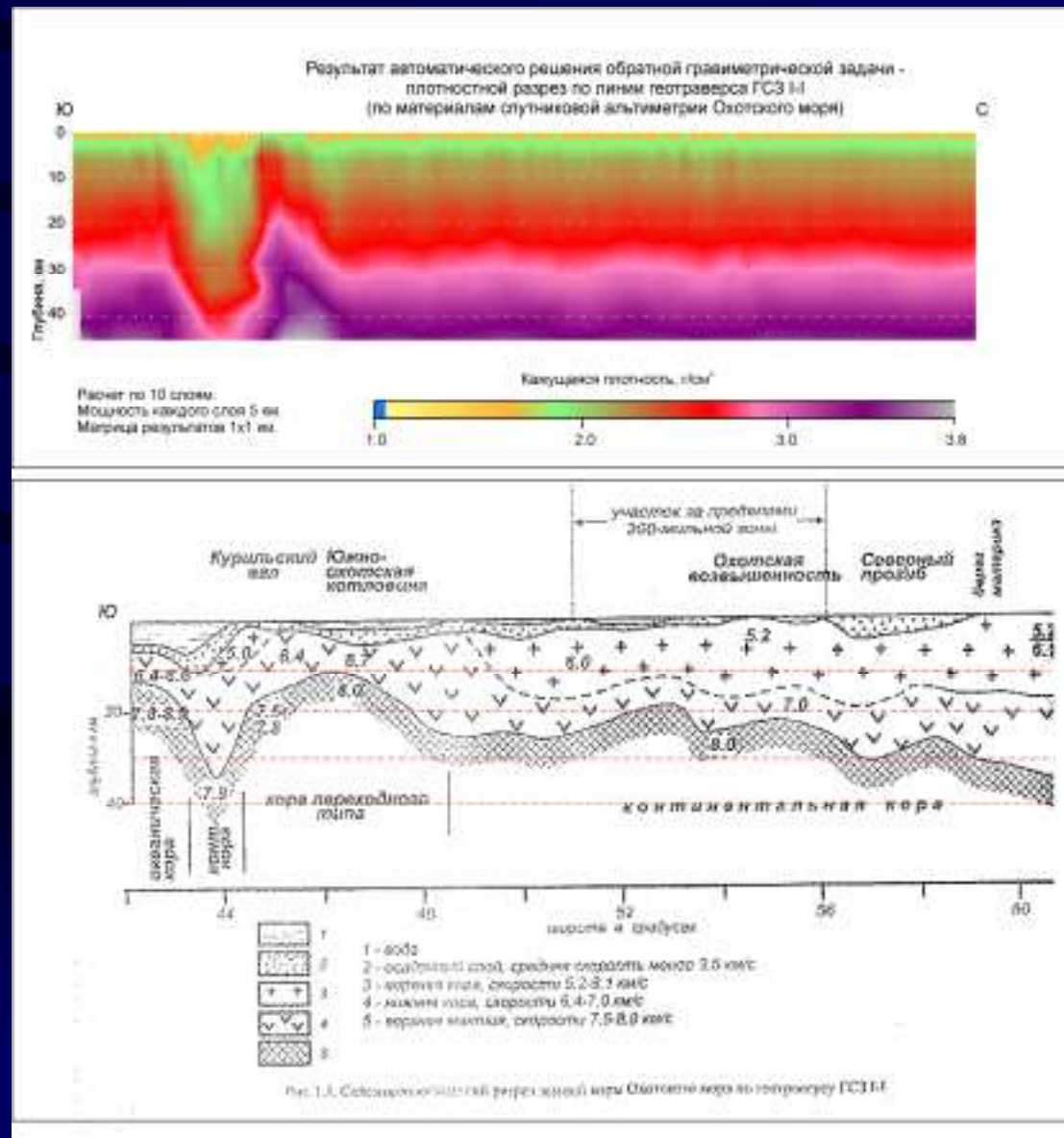
Поле ΔG Охотского моря



Некорректная обратная задача - определение
плотности пород земных недр

Методы дз3

Геотраверс Магадан - Курилы



Преимущества спутниковых методов ДЗЗ:

- Выполнение глобальных съемок одной и той же технической системой
- Высокая обзорность
- Возможность получения материалов на любую минерагическую провинцию, любое месторождение мира

Два подхода к прогнозированию месторождений полезных ископаемых:

- На основе генетических представлений (моделей)
- Метод аналогии

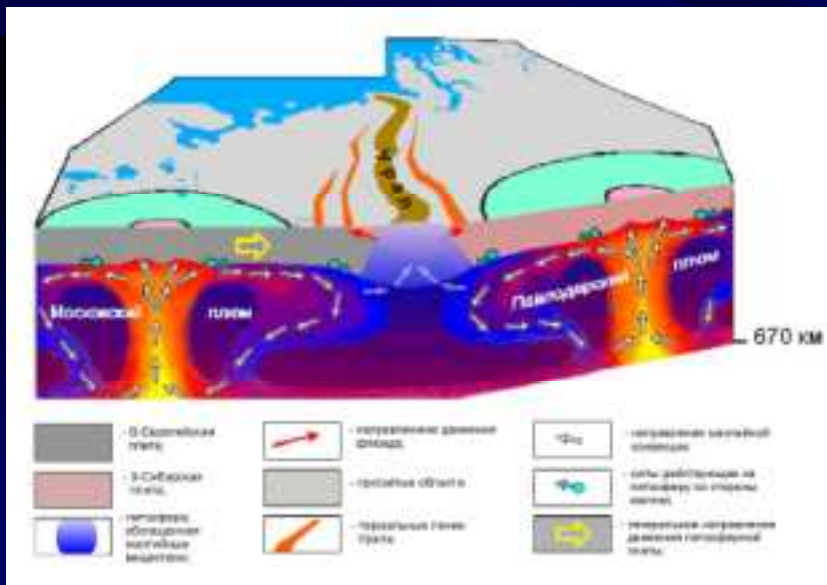
Генетические модели

Мантийные плюмы

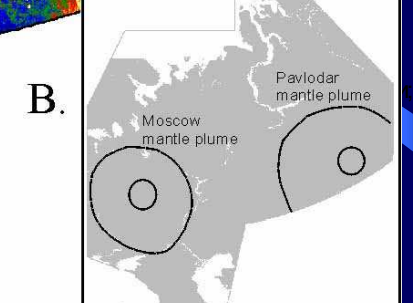
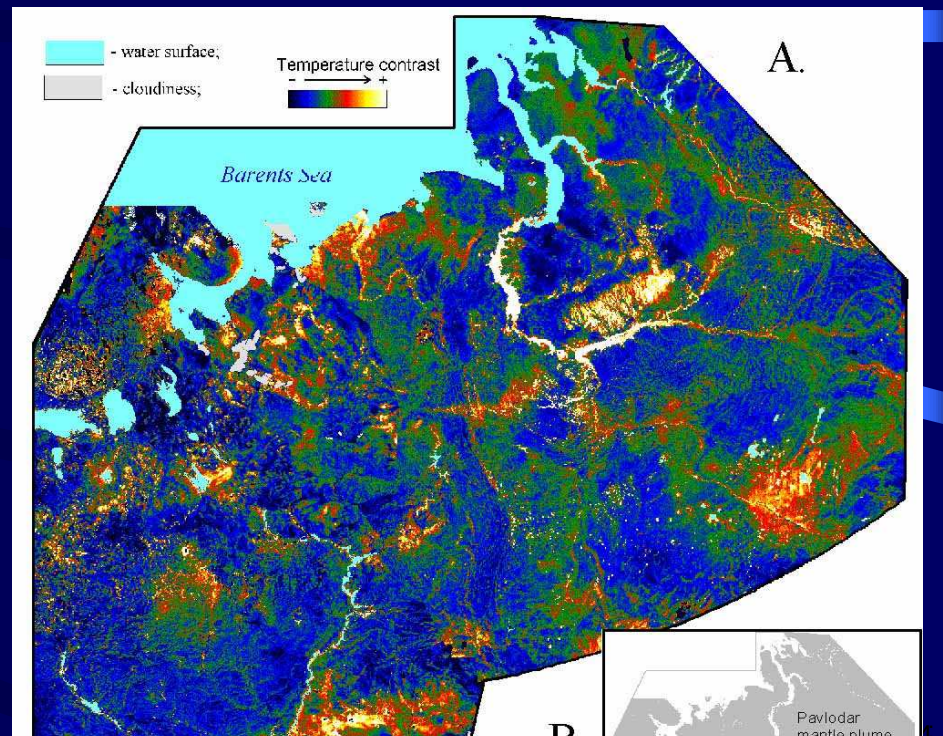
Математическое моделирование
мантийной конвекции
(по В.П.Трубицыну)



Модель восходящей мантийной конвекции под
западной частью Евразийской плиты



Цифровая мозаика
ночных температурных контрастов



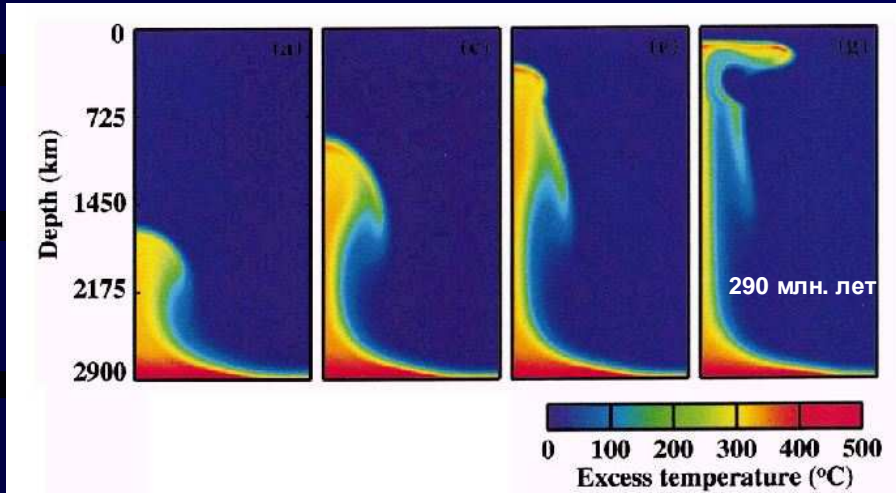
Температурный контраст



Генетические модели

«Горячие» мантийные струи

(по C.G. Farnetani et al.)



Состав земного ядра

(Ringwood, 1977, Ringwood&Kesson, 1977,
Wanke et al, 1984)

Fe	86.2 %
Ni	4.8 %
Co	0.27 %
S	1.0 %
O	8.0 %
Si, Mn, Cr	14.00%

Отклонение «горячей» струи в
направлении перемещения плиты

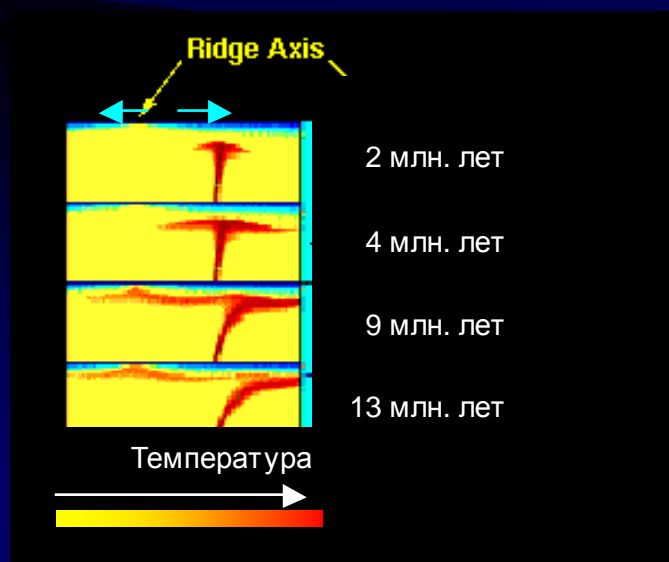
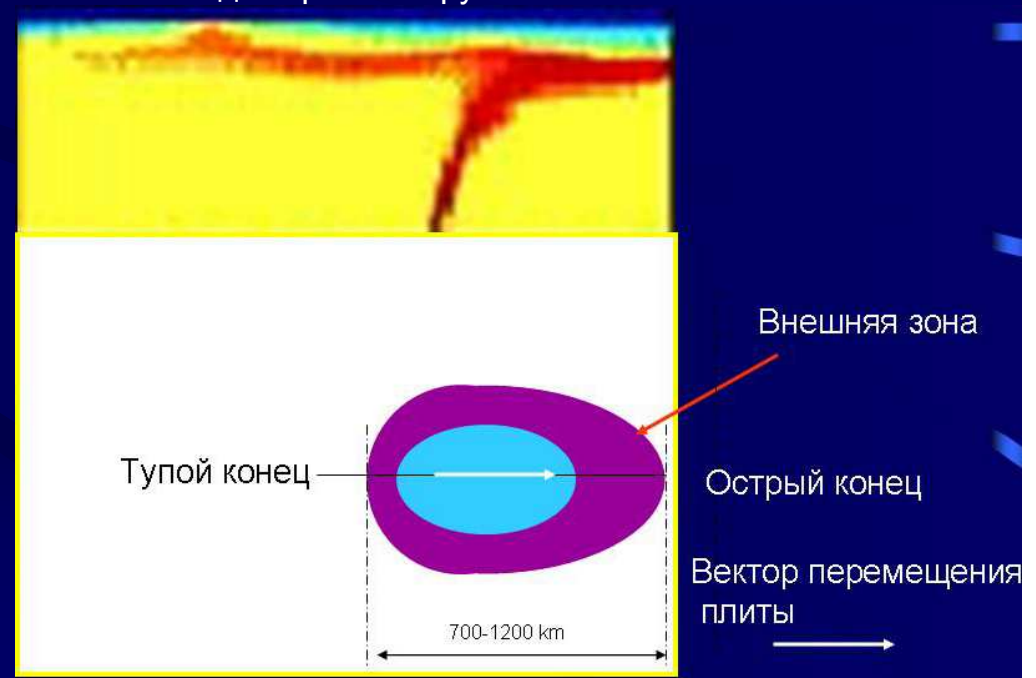


Схема формирования овальной структуры
над «горячей струей»



Генетические модели

Овальная структура Центрального Казахстана

Ночное тепловое изображение (NOAA)

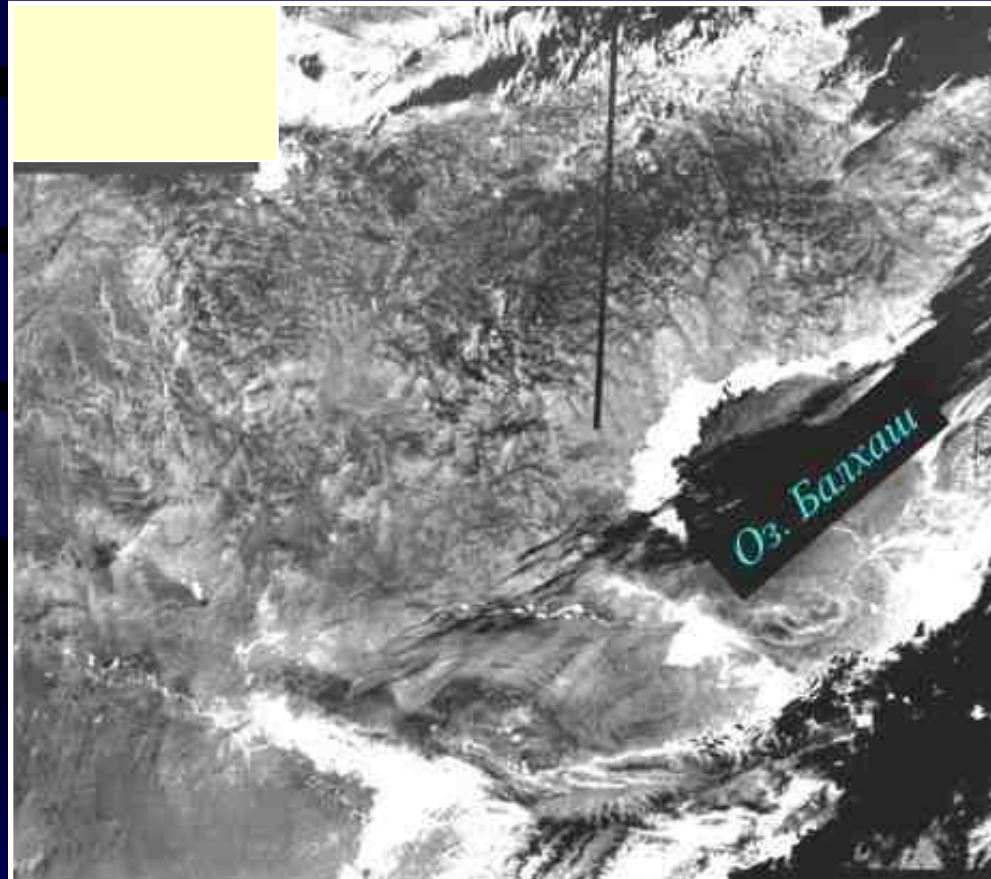
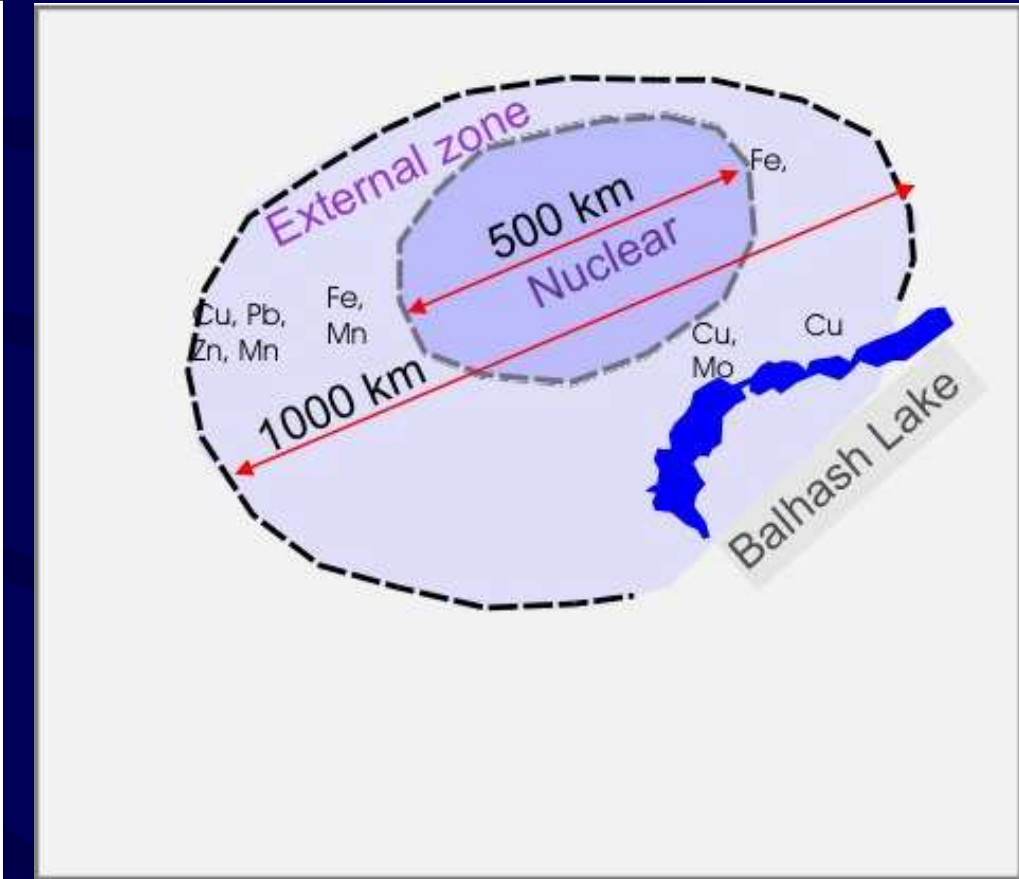


Схема дешифрирования



Температура

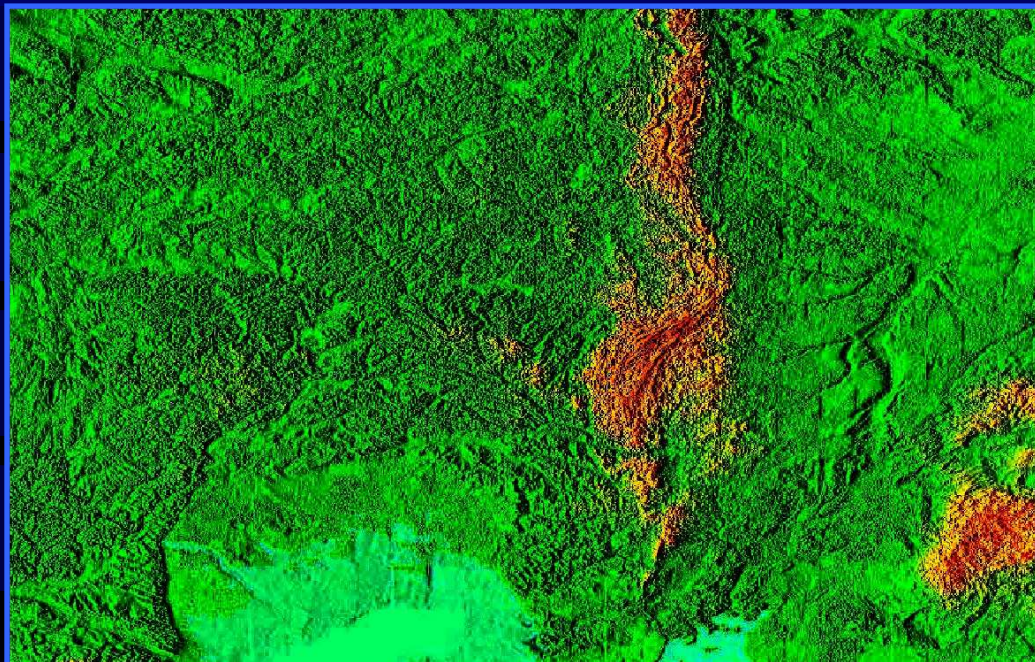


500 км

Генетические модели

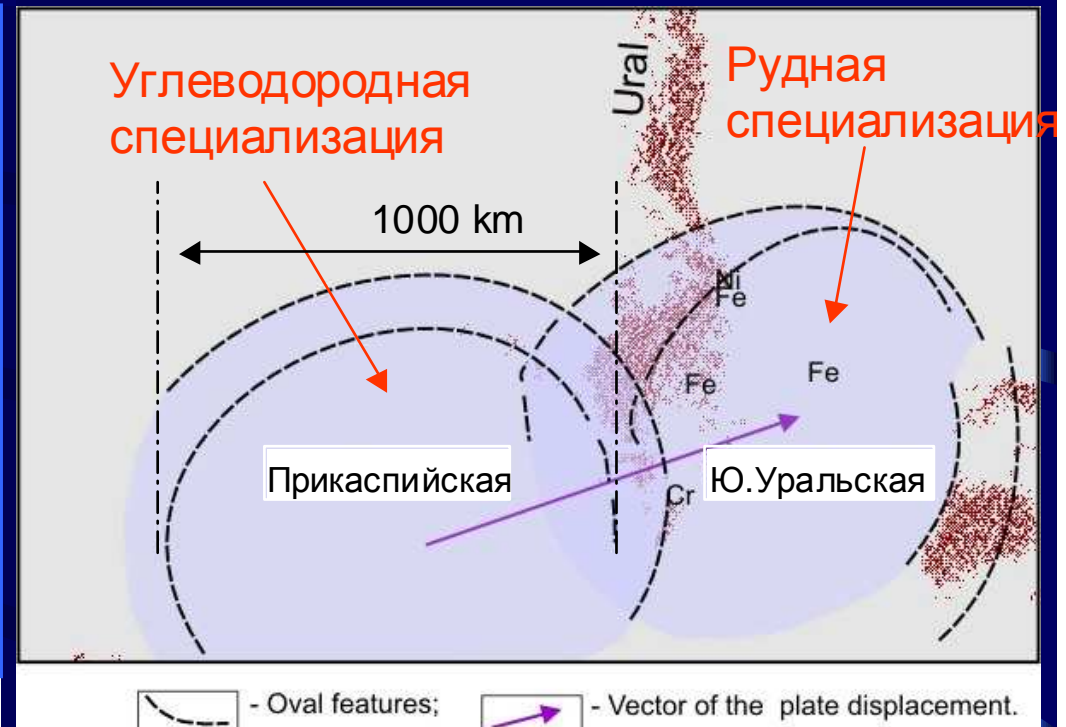
Прикаспийская и Южноуральская овальные структуры

Цифровая модель рельефа
(по W.Smith and D.Sandwall)



Высота поверхности

Схема дешифрирования

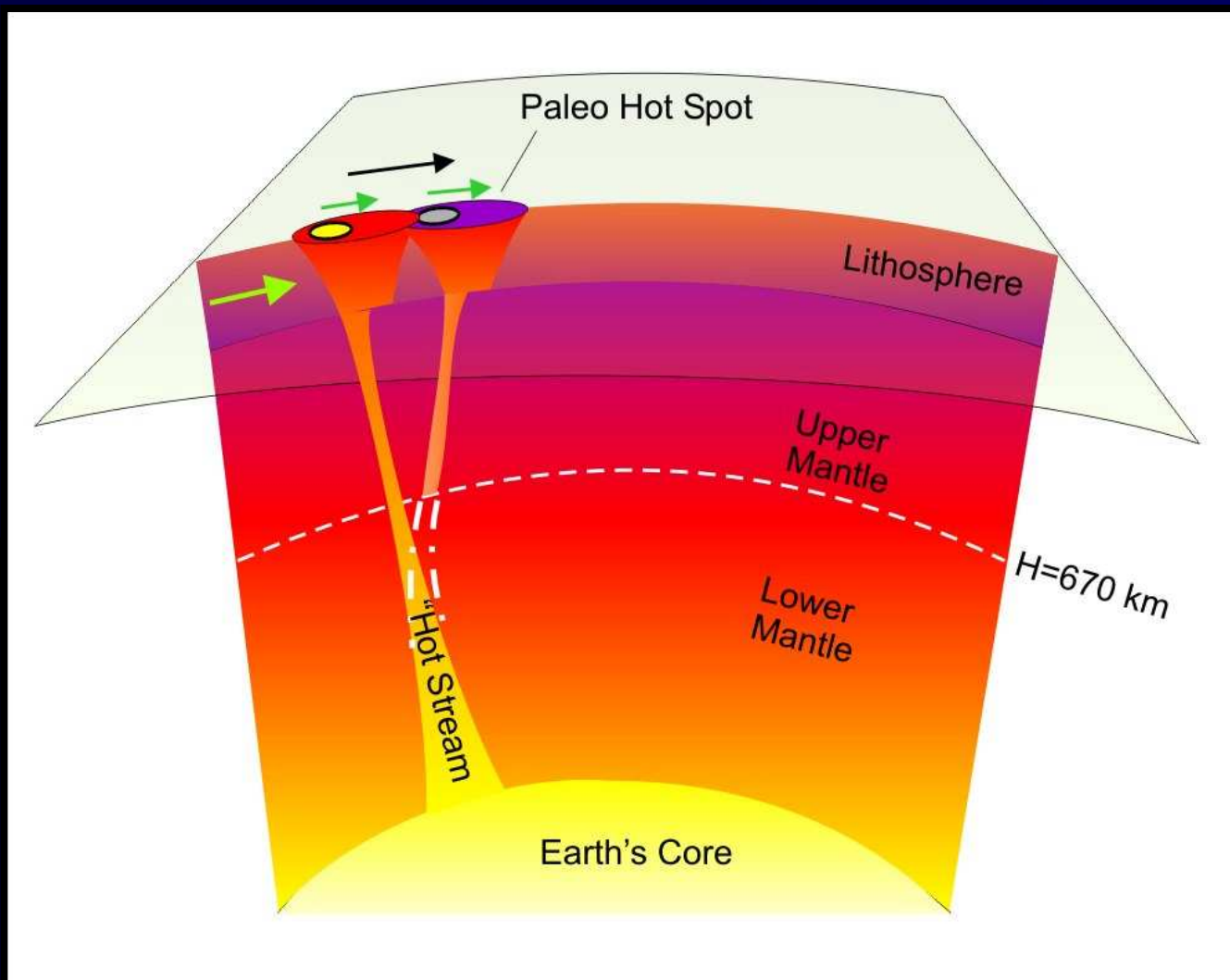


Характеристика:

- размеры;
- овальная форма и внутренняя структура;
- обогащение коры ядерными элементами или углеводородами.

Генетические модели

Модель формирования цепочки палеопозиций восходящих мантийных конвективных структур

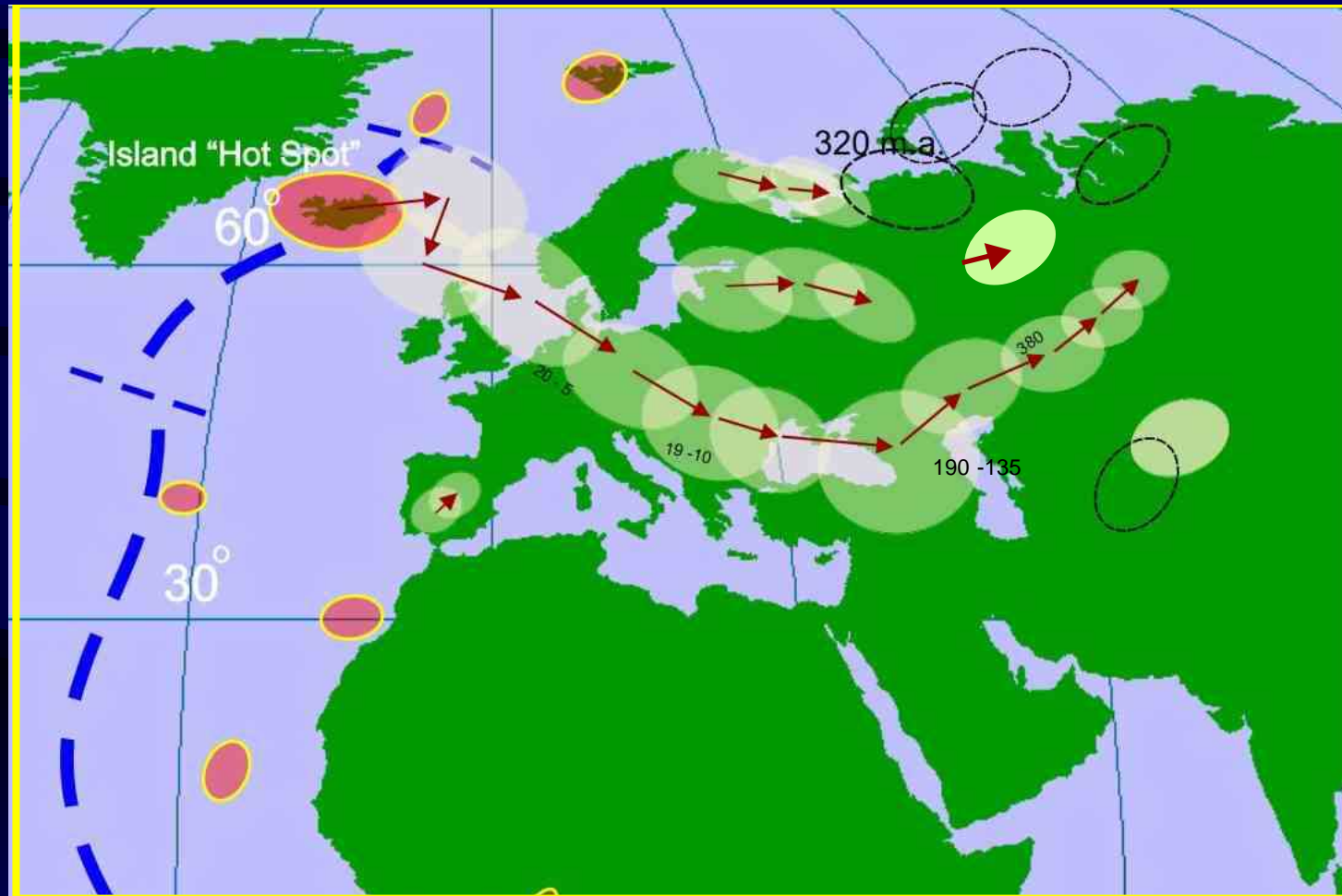


Фазы:

1. Формирование «горячей точки».
2. Наклон струи.
3. Срыв струи.
4. Остыивание палео «горячей точки».
5. Формирование новой «горячей точки».

Генетические модели

Схема палеопозиций “горячих точек” в западной части Евроазийской плиты

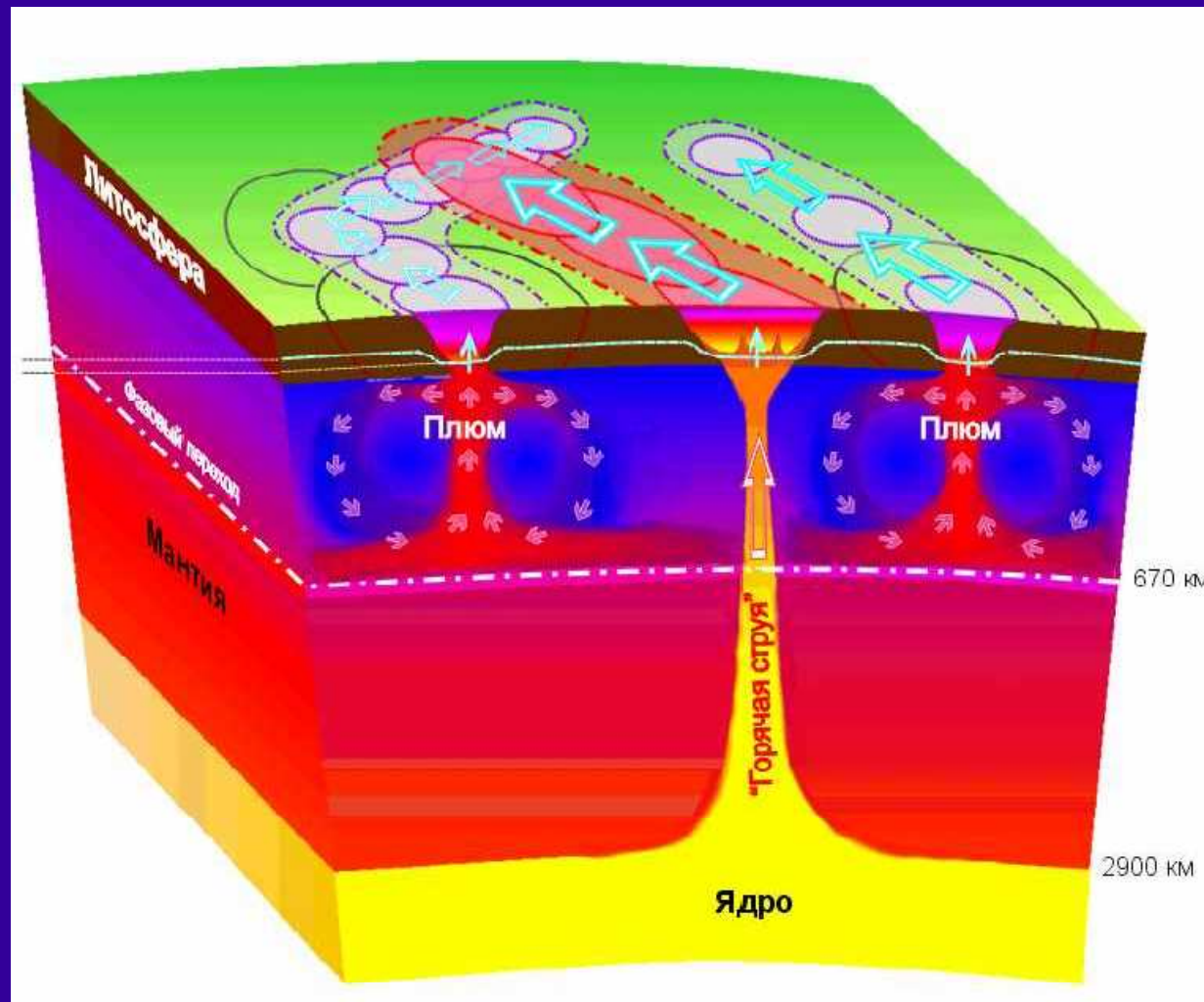


- 1
- 2
- 3
- 4
- 5
- 150
- 6

1. Hot Spot paleopositions. 2. Vectors of plate displacement. 3. Proposed paleopositions.
4. Middle Atlantic Ridge. 5. Volcanic areas. 6. Age of paleopositions, m.a.

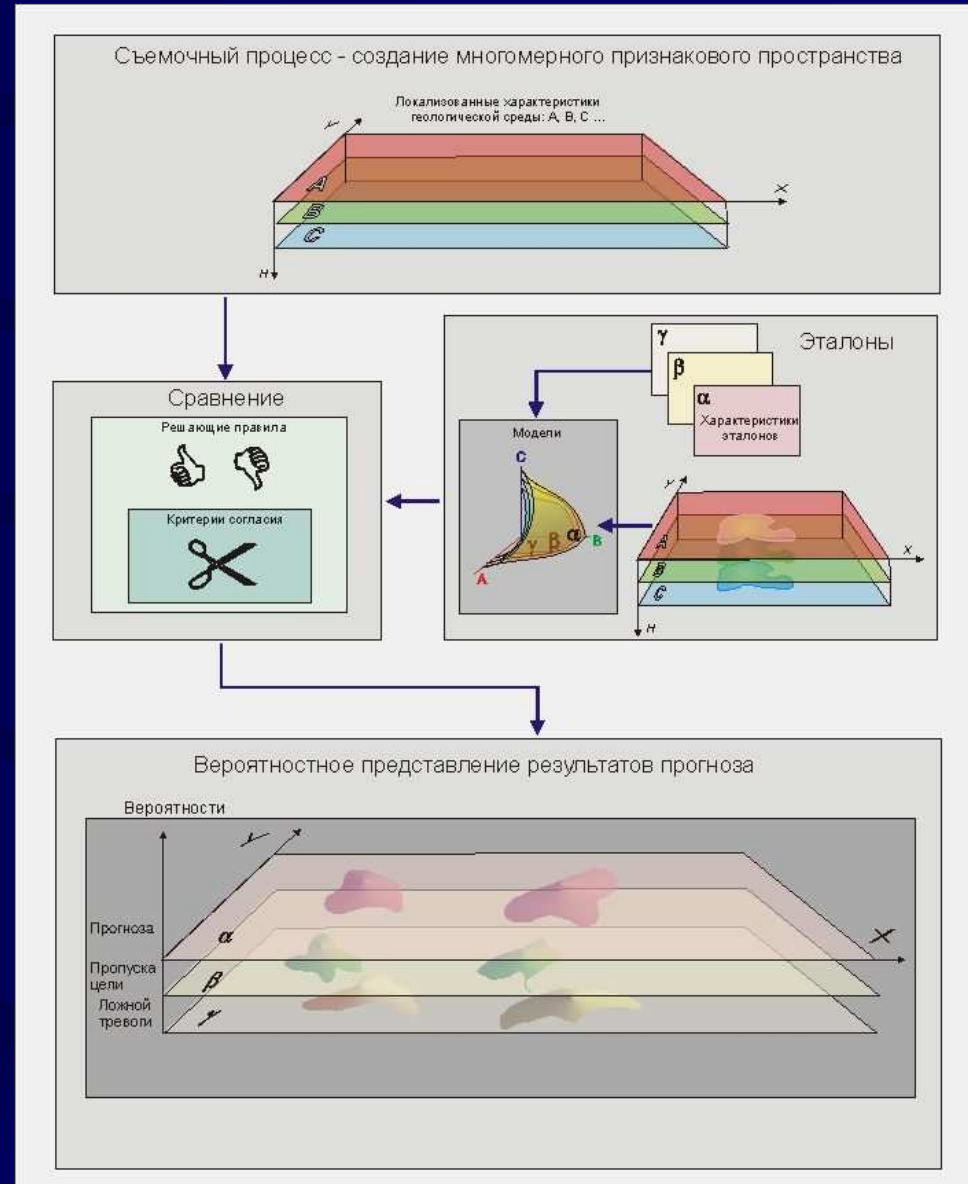
Генетические модели

Модель формирования минерагенических провинций, сформированных мантийной конвекцией



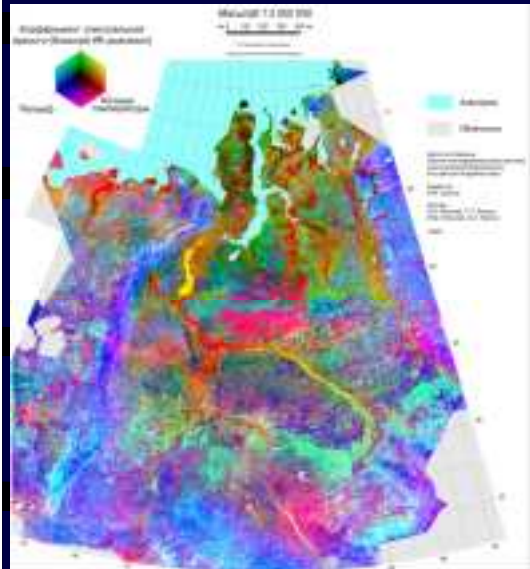
Метод аналогий

Методология
комплексной обработки МДЗЗ и
геофизических материалов
при оценке перспектив
территорий.

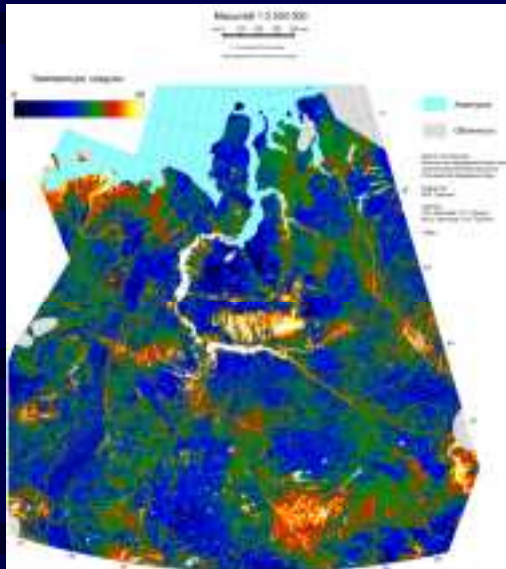


Комплексный подход к прогнозированию

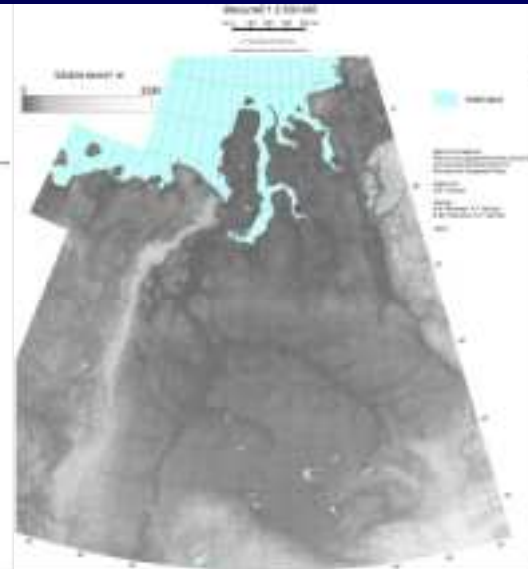
RGB – цветовые
композиты



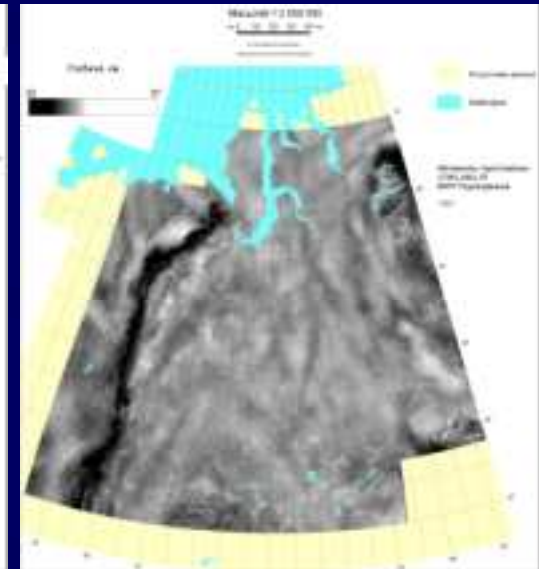
Ночная температура



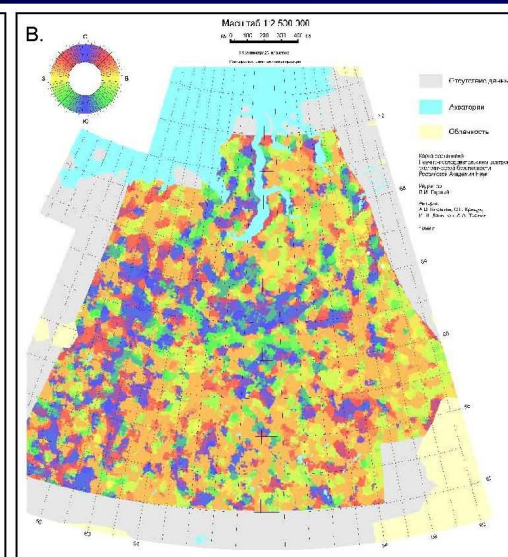
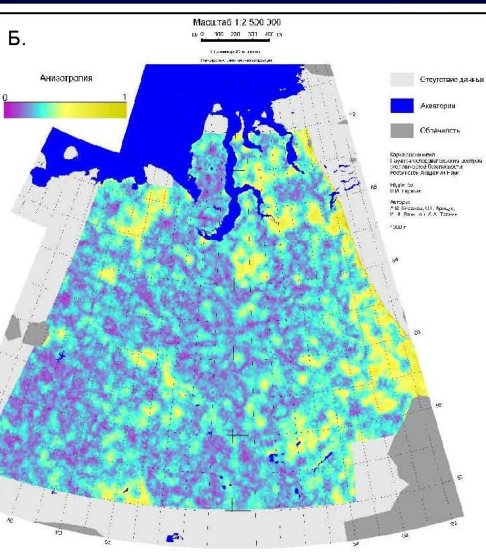
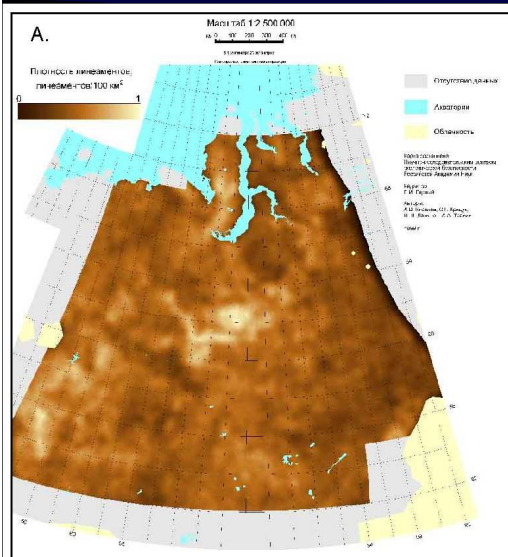
ЦМР



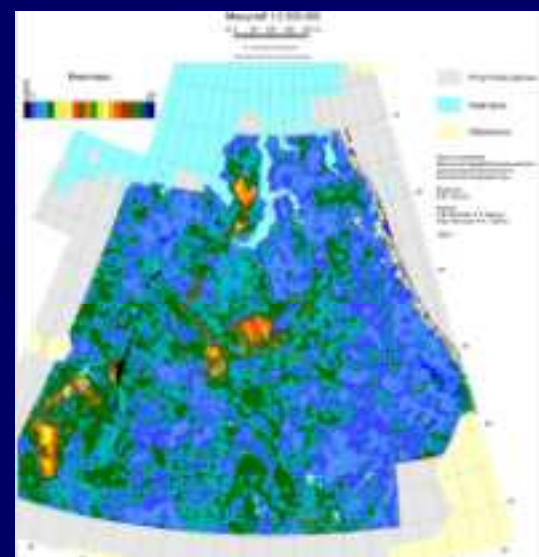
Глубина Мохо



Автоматизированный линеаментный анализ

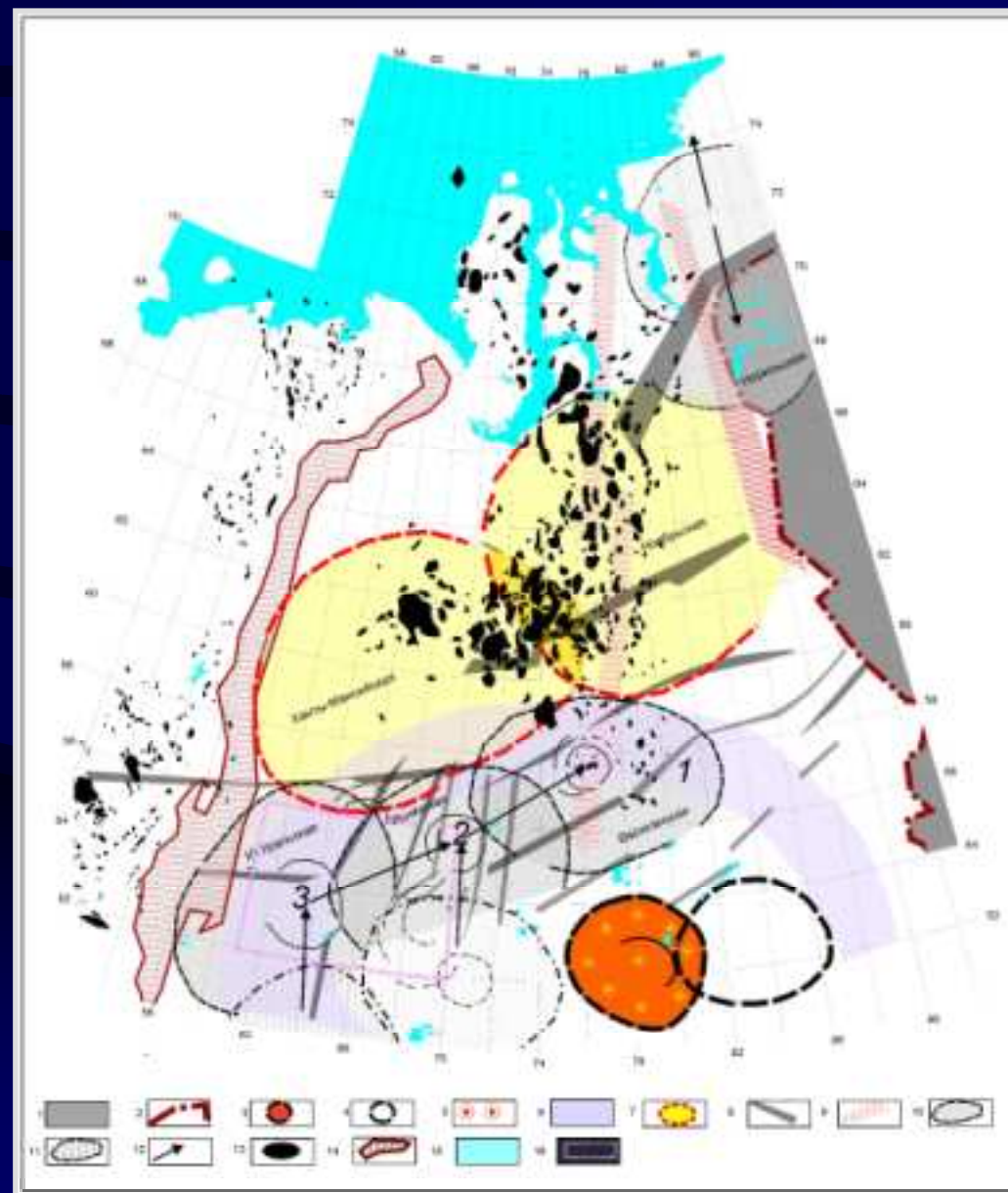


Безэталонная классификация



Комплексный подход к прогнозированию

Упрощенная схема тектонического дешифрирования
цифровых материалов спутника NOAA(AVHRR)



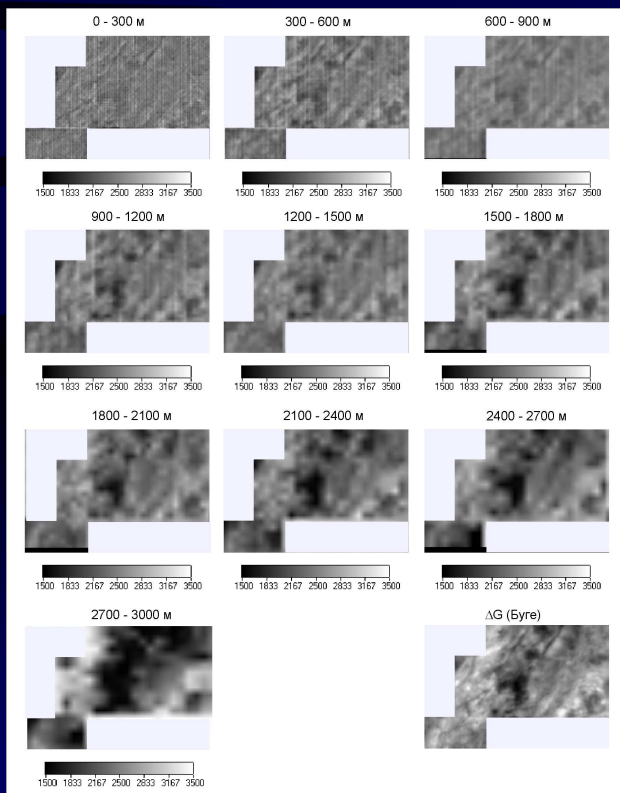
Комплексный подход к прогнозированию



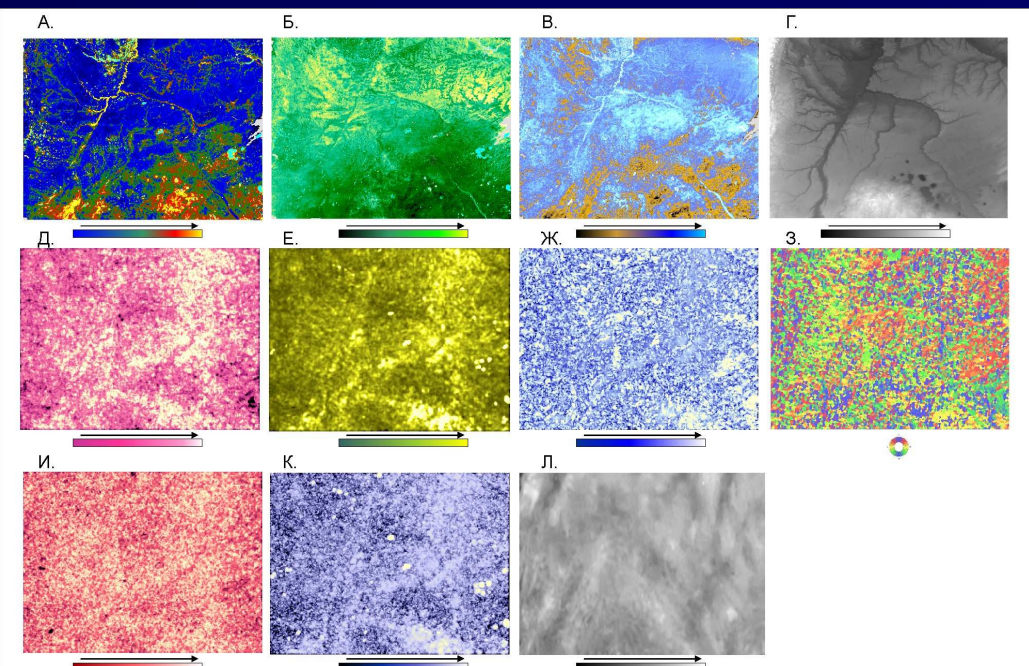
1. Область подготовки данных
2. Прогнозный участок

«Куб данных»

Гравиразведка



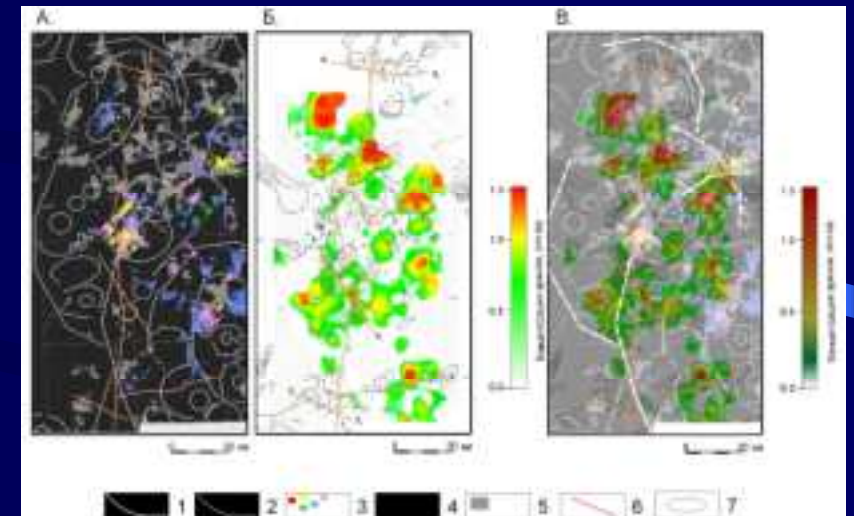
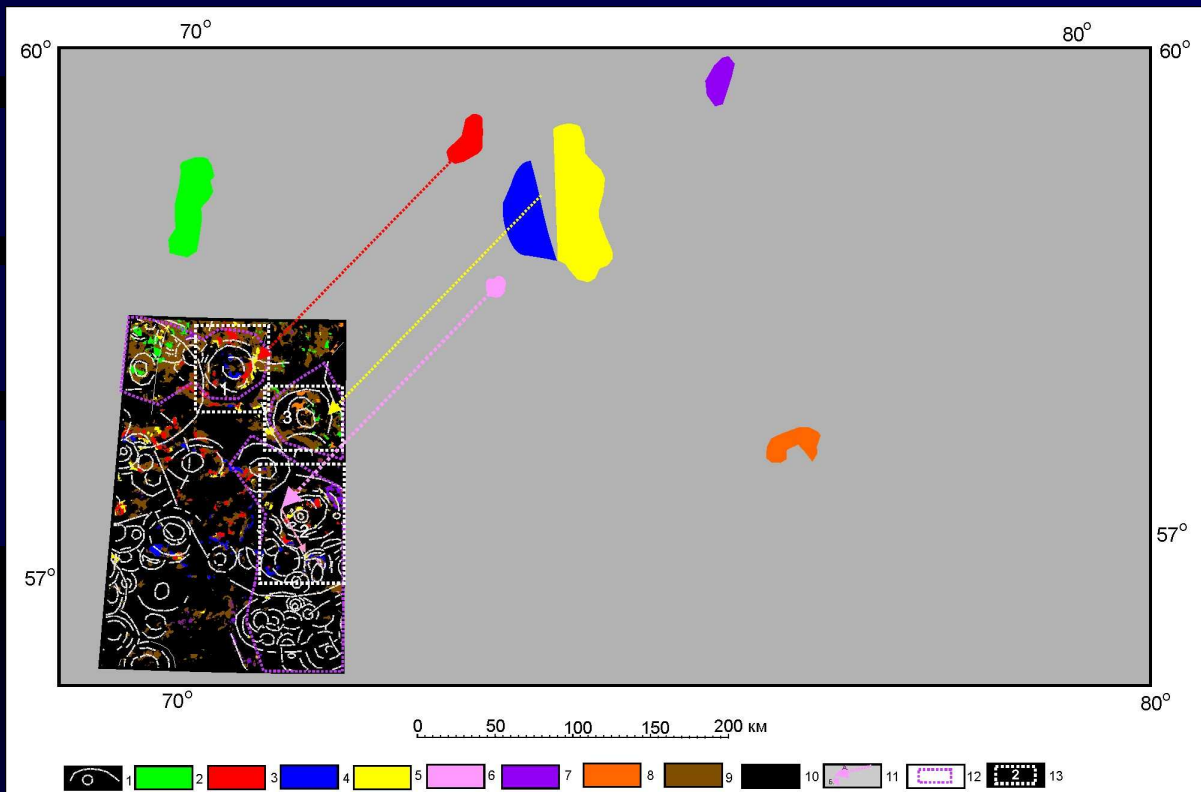
дз3



Комплексный подход к прогнозированию

Схема прогноза нефтегазоперспективных площадей по результатам качественного и количественного анализа МДЗЗ и геофизических материалов

Сопоставление результатов комплексной обработки МДЗЗ и геофизических данных с материалами наземной геохимической съемки.

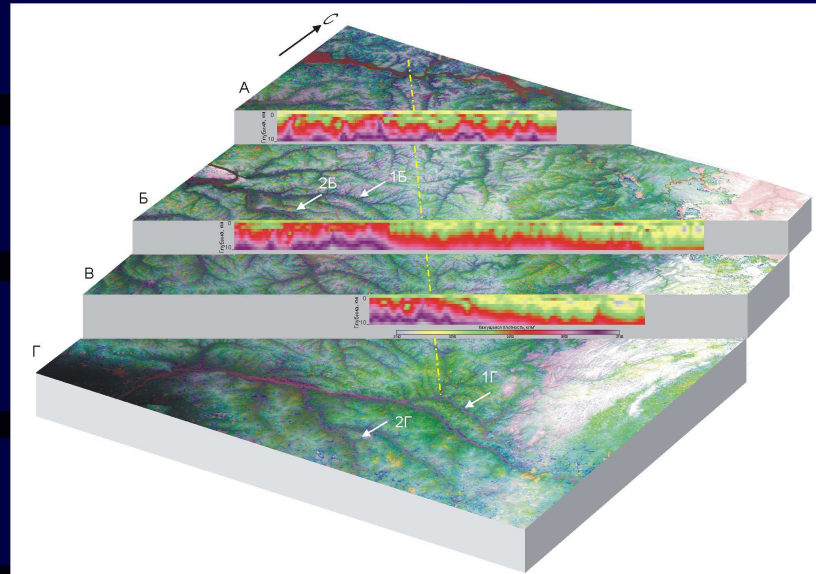


Вероятности		
Опознавания, P_d	Пропуска объекта, P_g	Ложной тревоги, P_f
0.65	0.11	0.11

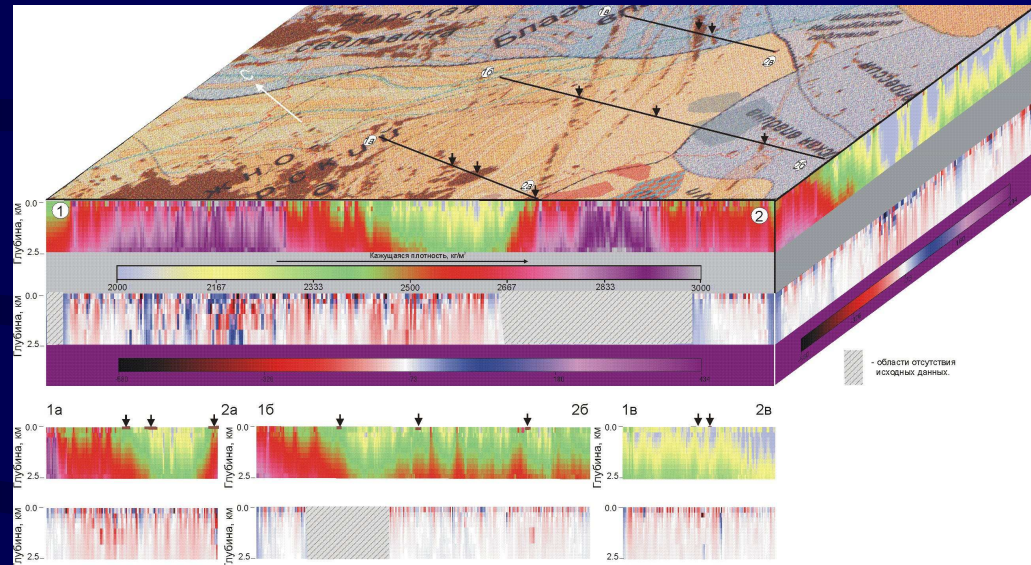
Волго-Уральская НГП

3-Д диаграммы

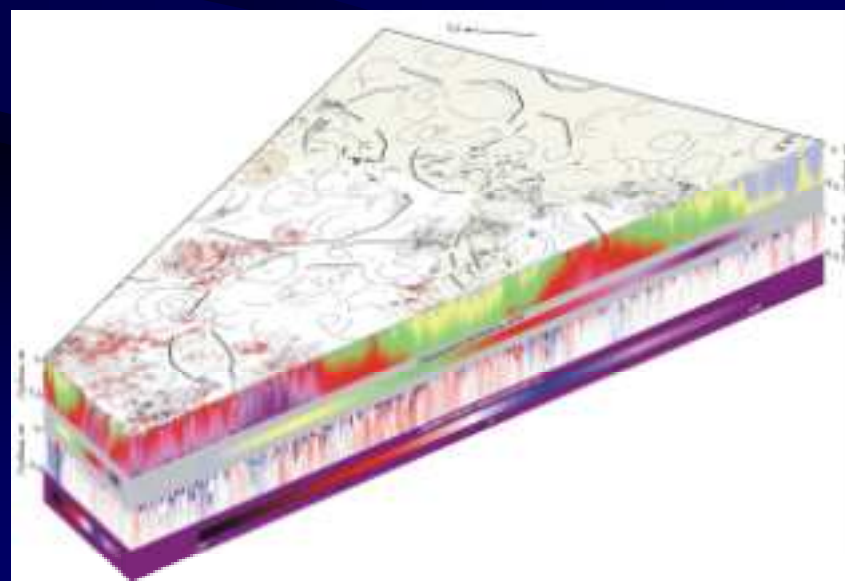
Анализ структуры



Анализ закономерностей размещения МПИ



Анализ структурной позиции выделенных участков



Перспективы

1. Дополнение традиционной геологической карты:

- «кубом» пространственно распределенных локализованных характеристик свойств земных недр, полученных по результатам наземных, авиационных и спутниковых съемок;
- многомерными моделями геологических тел;
- алгоритмами и программами распознавания.

2. Решение обратной задачи, направленное на построение трехмерных моделей геологической среды по результатам спутниковых съемок.

3. Совместная обработка дистанционных и геофизических материалов с целью построения трехмерных моделей геологической среды.